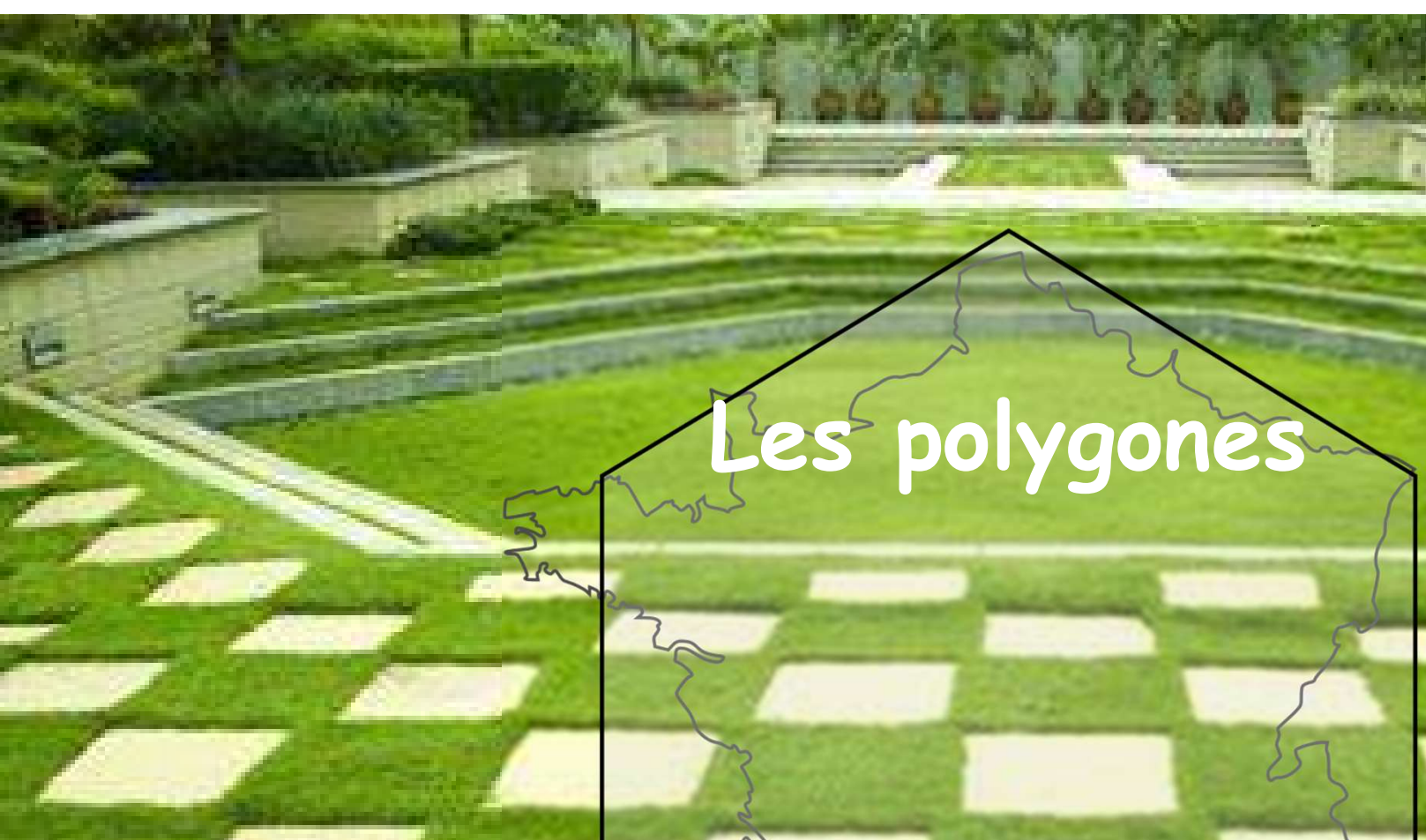


Les polygones



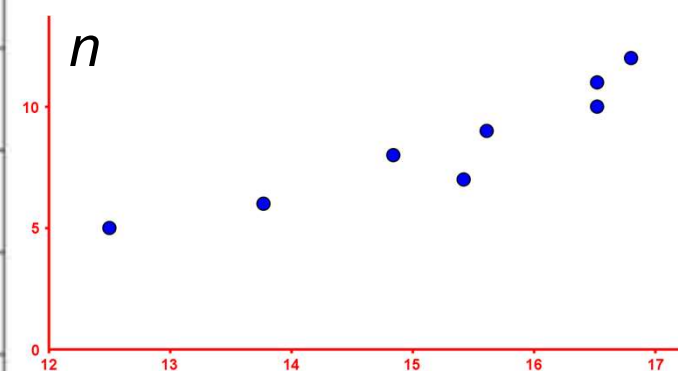
La nomenclature

Le nom d'un polygone n'est autre, en règle générale, que son « nombre d'angles » qu'il suffit donc d'ajouter au suffixe *gone*.

Nombre de côtés	Nom	Première trace écrite
5 πεντα = cinq	Pentagone	XIII ^e siècle
6 εξα = six	Hexagone	1377, « <i>exagone</i> » chez Nicolas Oresme dans <i>Le livre du ciel et du monde</i>
7 επτα = sept	Heptagone	1542 chez Charles de Bouelles dans <i>Géométrie pratique</i>
8 οκτω = huit	Octogone	1484 chez Nicolas Chuquet dans <i>Géométrie</i>
9 εννε = neuf	Ennéagone	1561 chez Collage dans <i>Polygraphie</i>
10 δεκα = dix	Décagone	1652 chez Meynier dans <i>Géométrie</i>
11 έδεκα = onze	Hendécagone	1652
12 δωδεκα = douze	Dodécagone	1680
15 πενταδεκα = quinze	Pentadécagone	

angle → Triangle

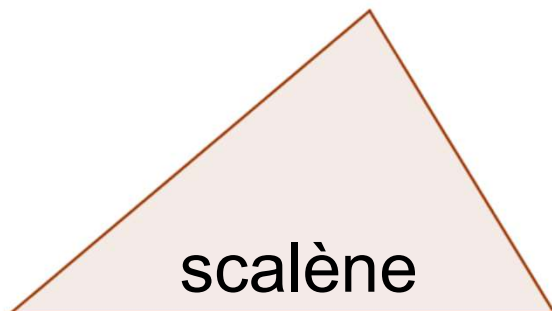
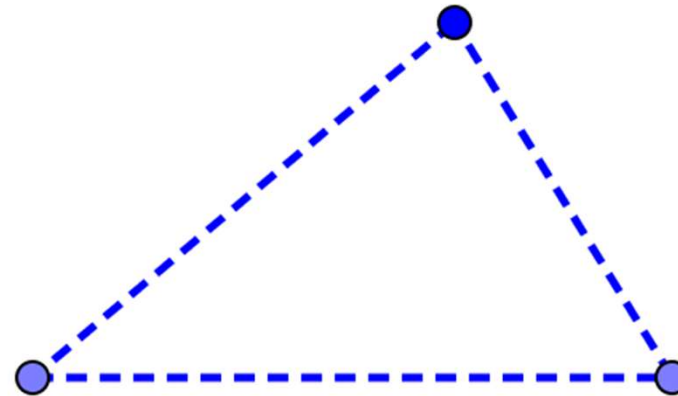
côté → Quadrilatère



Année de la
1^{ère} trace écrite

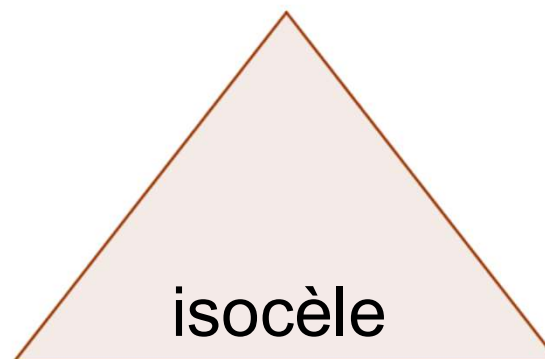
Kafémath du 14 novembre 2013: « Trois points c'est tout! »

3 points = triangle unique



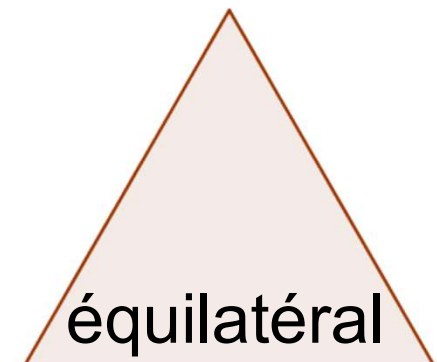
scalène

boîteux



isocèle

jambes égales



équilatéral

côtés égaux

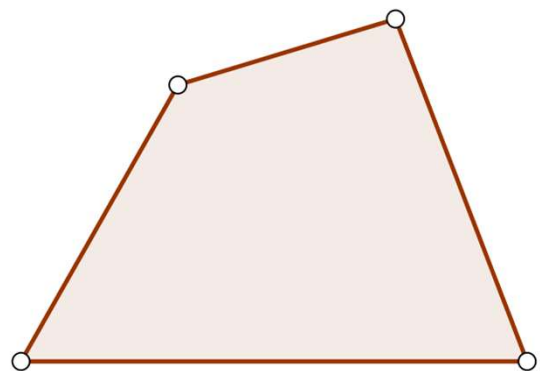


Les polygones

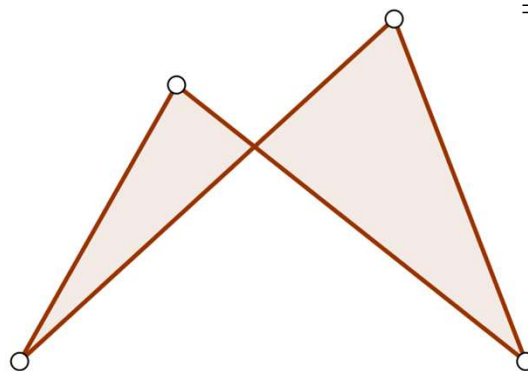
$n = 4$

4 points donnés = trois quadrilatères (aploïques)

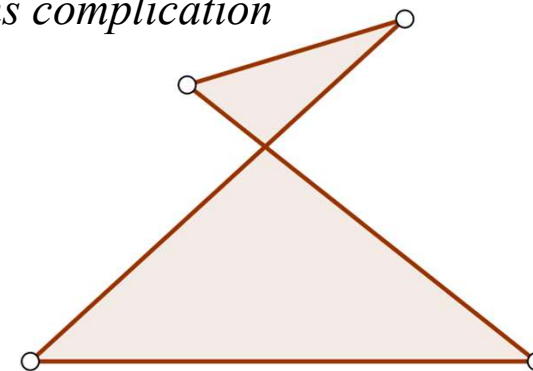
= sans complication



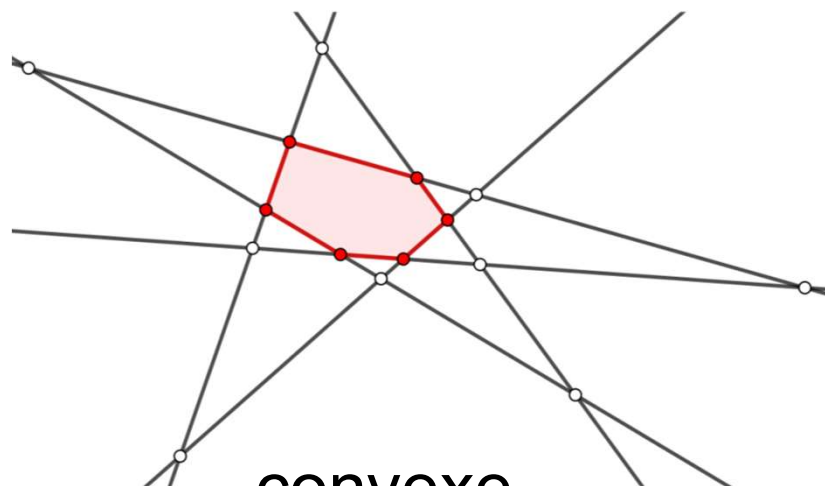
simple (acoptique)
= ne se coupe pas



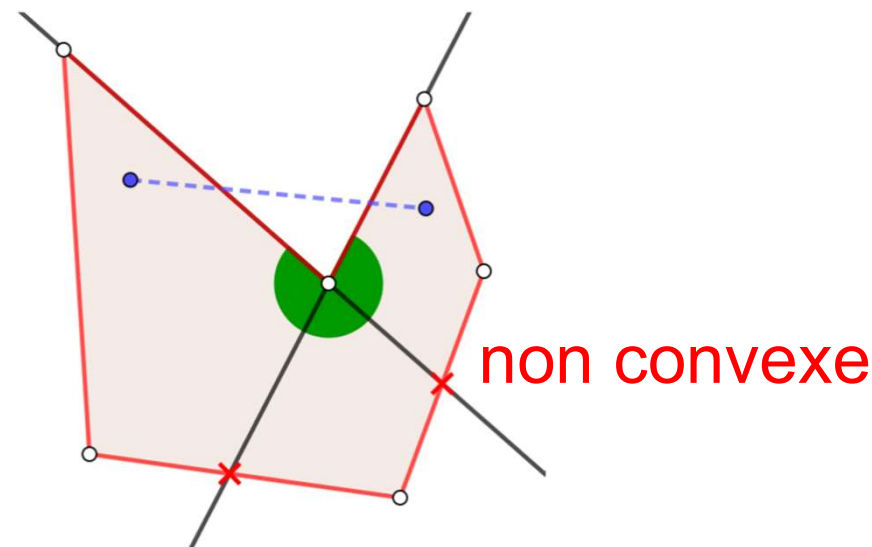
croisé



croisé



convexe

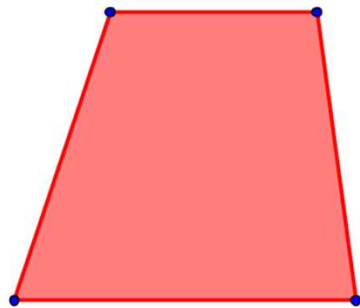


non convexe

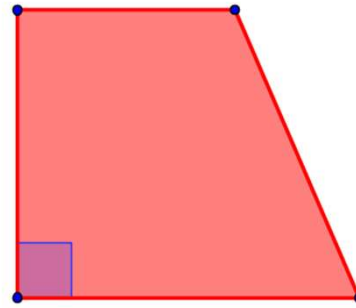
nombre de type de pentagones = 11
nombre de type d'hexagones = 73?



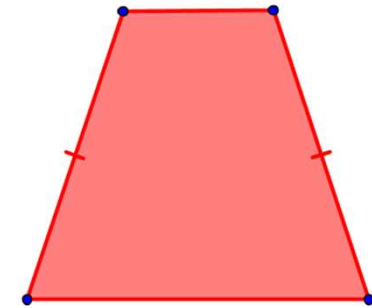
Les quadrilatères simples



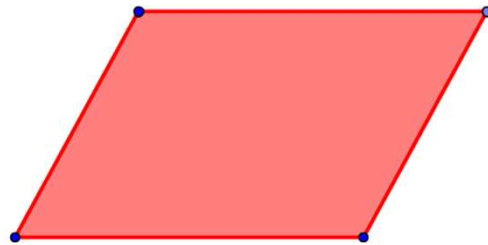
scalène



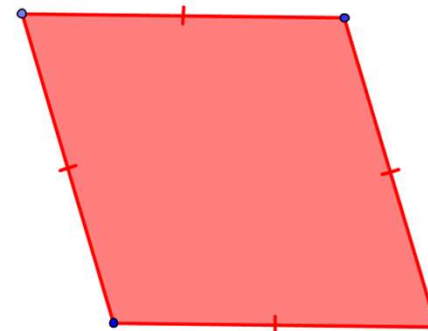
trapèze rectangle



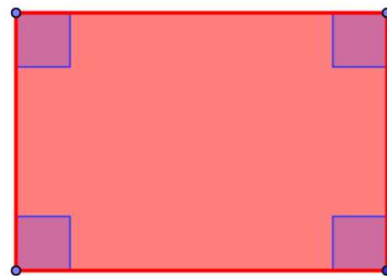
isocèle



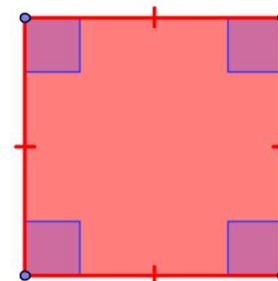
parallélogramme



losange (rhombe)



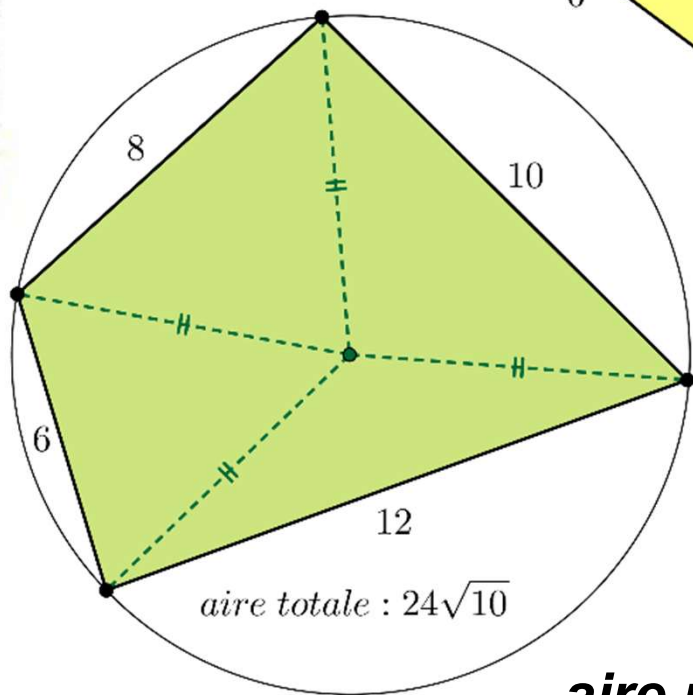
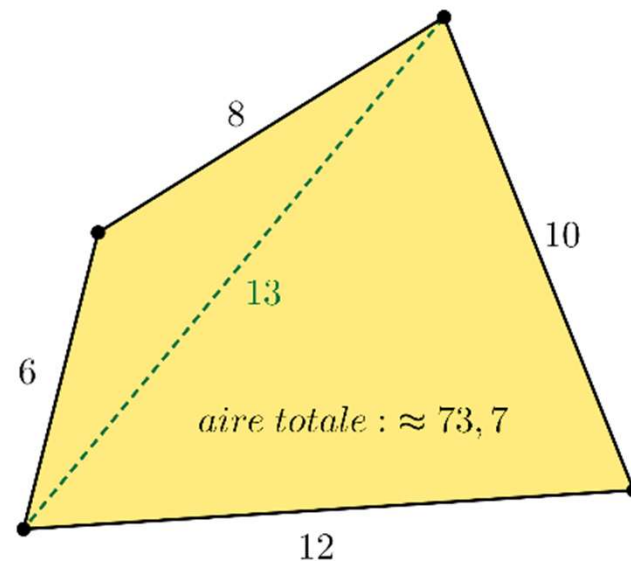
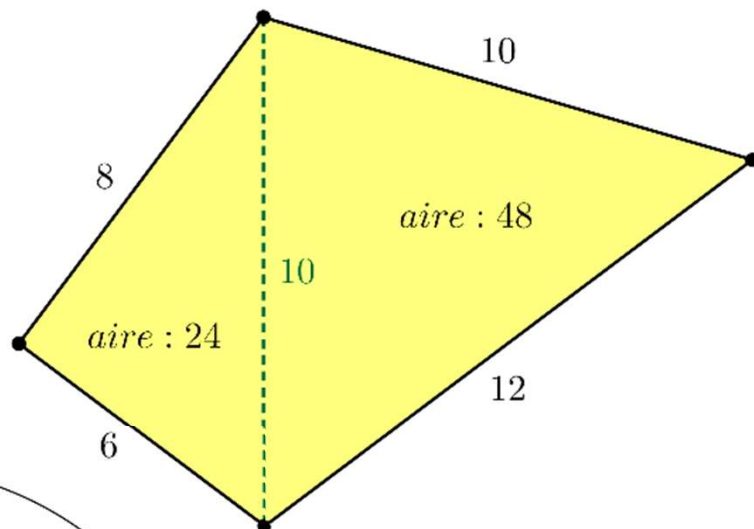
rectangle



carré



Mêmes côtés, même aire?



Formules de surfaces:

Triangle : Formule de Héron d'Alexandrie

$$S = \sqrt{p(p-a)(p-b)(p-c)}$$

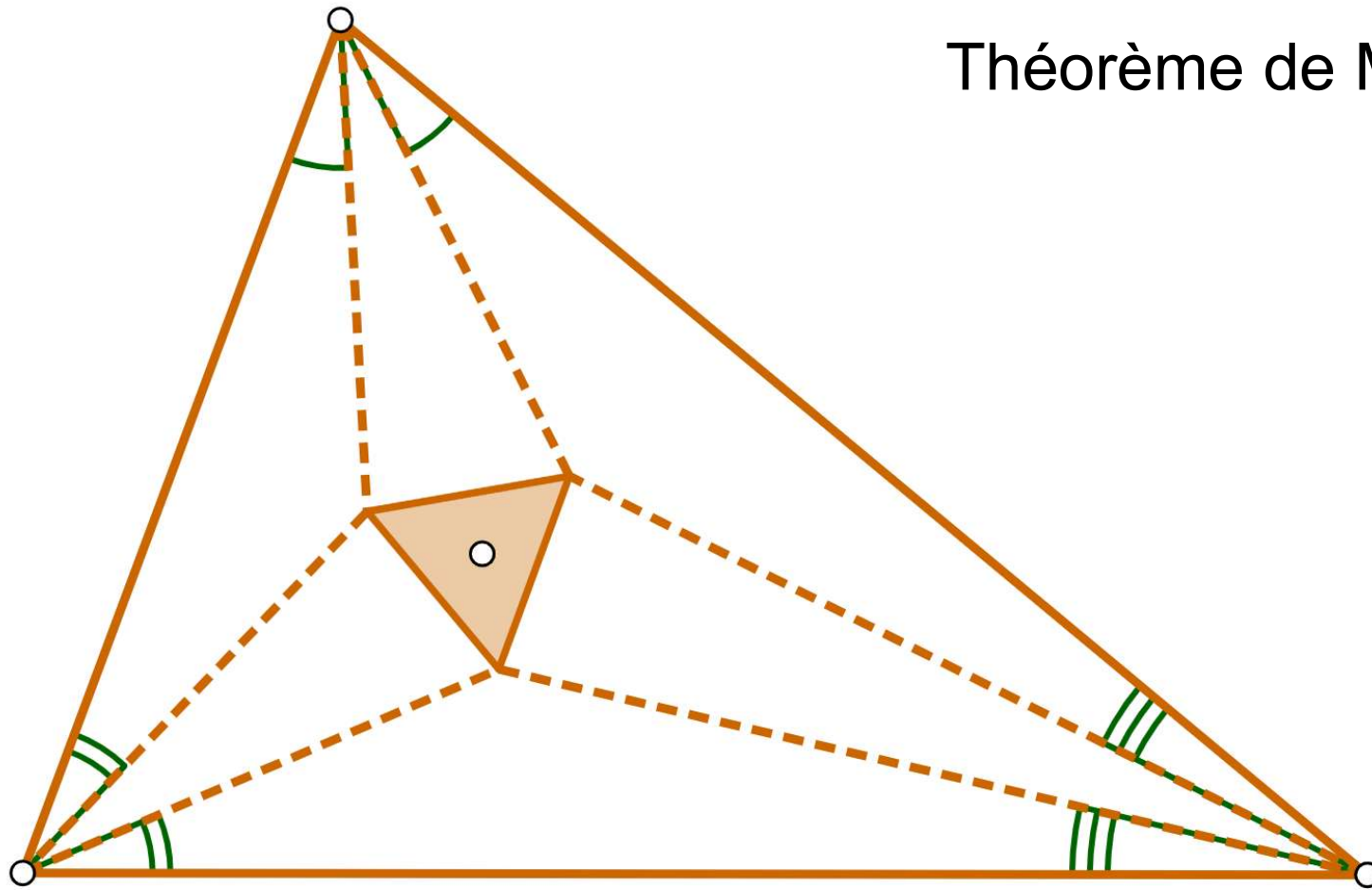
Quadrilatère inscrit:

Formule de Brahmagupta (598-670)

$$S = \sqrt{(p-a)(p-b)(p-c)(p-d)}$$

aire maximale pour un quadrilatère inscrit

Théorème de Morley



Quand l'ordre naît du désordre

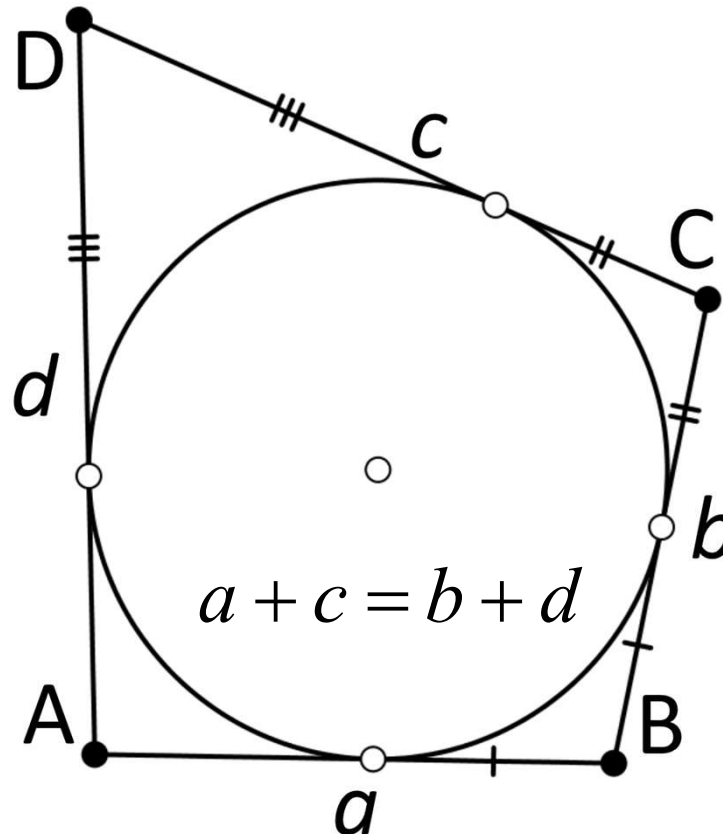


Les polygones circonscrits

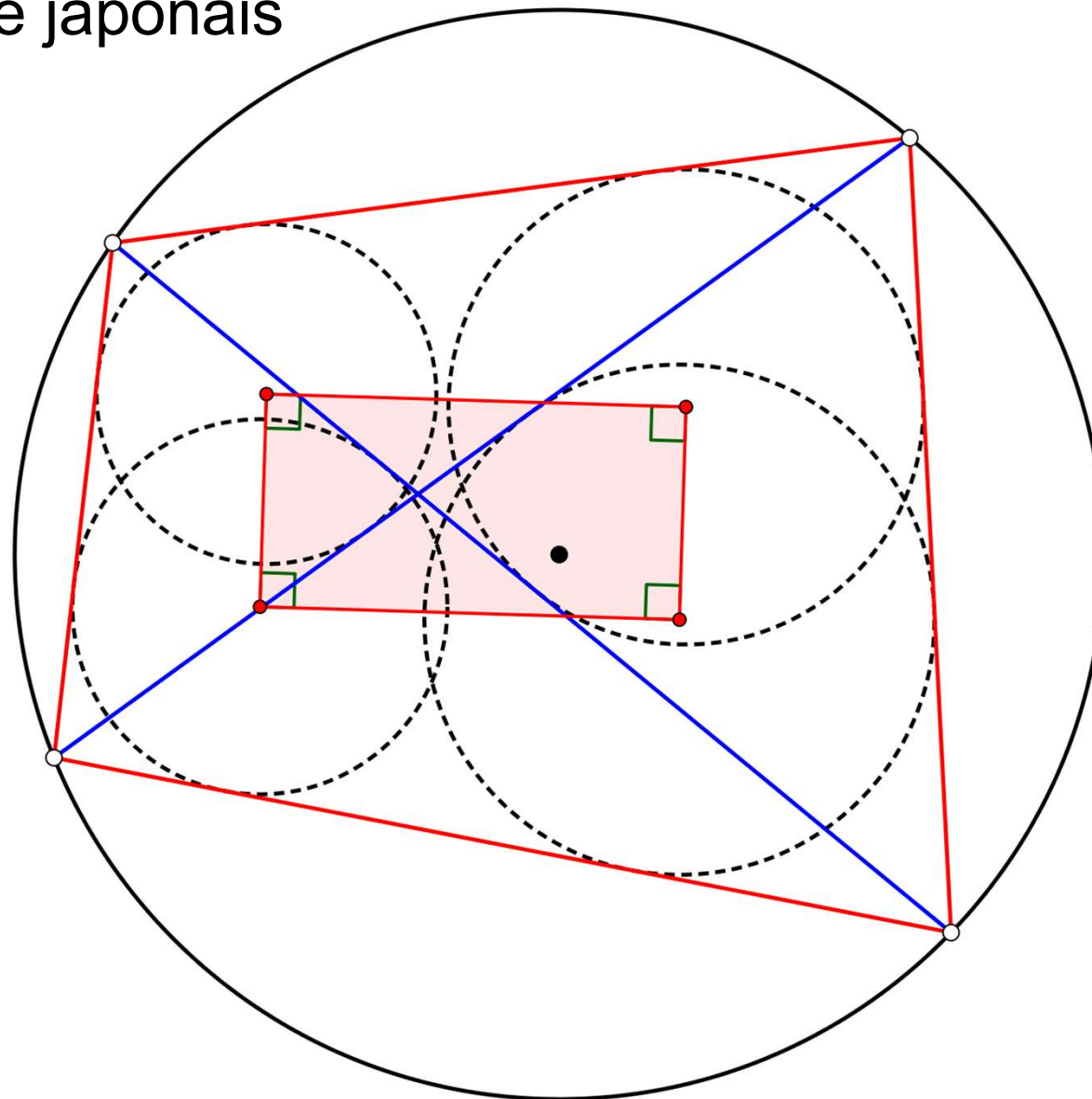
Henri Pitot (1695-1771) démontre en 1725 que :

Si un polygone $A_1A_2\dots A_{2n}$ est circonscrit à un cercle, on a :

$$A_1A_2 + A_3A_4 + \dots + A_{2n-1}A_{2n} = A_2A_3 + A_4A_5 + \dots + A_{2n}A_1$$



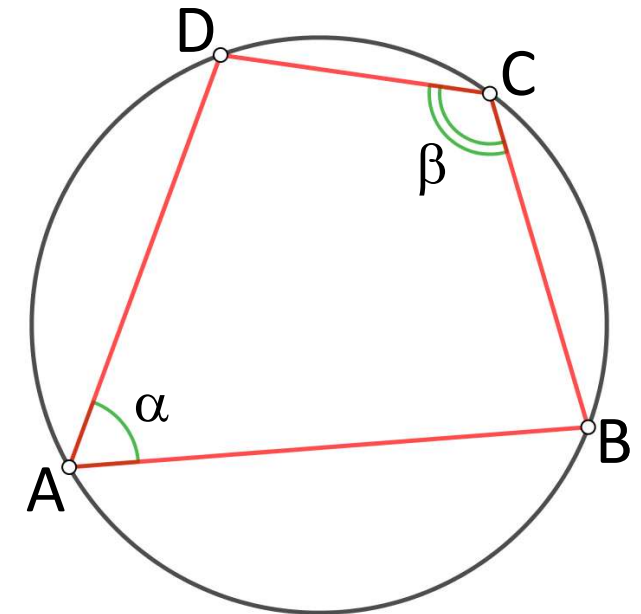
Théorème japonais



Quadrilatère ABCD inscrit: $\alpha + \beta = \pi$

$$\alpha = \text{Arg} \left[\frac{d-a}{b-a} \right] \Rightarrow \frac{d-a}{b-a} \cdot \frac{b-c}{d-c} \text{ réel} < 0$$

$$\beta = \text{Arg} \left[\frac{b-c}{d-c} \right]$$



$$|(d-a)(c-b) + (b-a)(d-c)| = |(d-a)(c-b)| + |(b-a)(d-c)|$$

Tautologie : $(c-a)(d-b) = (b-a)(d-c) + (c-b)(d-a)$

Théorème de Ptolémée :

$$\mathbf{AC \cdot BD = AB \cdot CD + BC \cdot AD}$$

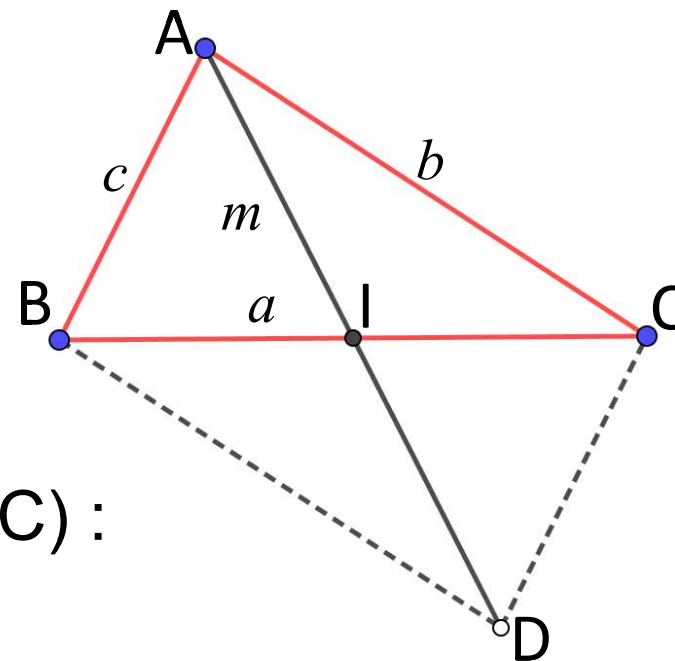
Produit des diagonales = somme des produits des côtés opposés



$$(\overrightarrow{AB} + \overrightarrow{AC})^2 + (\overrightarrow{AB} - \overrightarrow{AC})^2 = 2(b^2 + c^2)$$

$$\overrightarrow{AB} + \overrightarrow{AC} = \overrightarrow{AD} = 2\overrightarrow{AI}$$

$$\overrightarrow{AB} - \overrightarrow{AC} = \overrightarrow{CB}$$



Théorème de la moyenne (triangle ABC) :

$$b^2 + c^2 = a^2/2 + 2m^2$$

Egalité du parallélogramme ABCD : $2b^2 + 2c^2 = a^2 + (2m)^2$

somme des carrés des longueurs des côtés

=

somme des carrés des diagonales

En 1748, généralisation d'Euler pour les quadrilatères convexes.

Tautologie: $(a + b)^2 + (b + c)^2 + (c + a)^2 = a^2 + b^2 + c^2 + (a + b + c)^2$

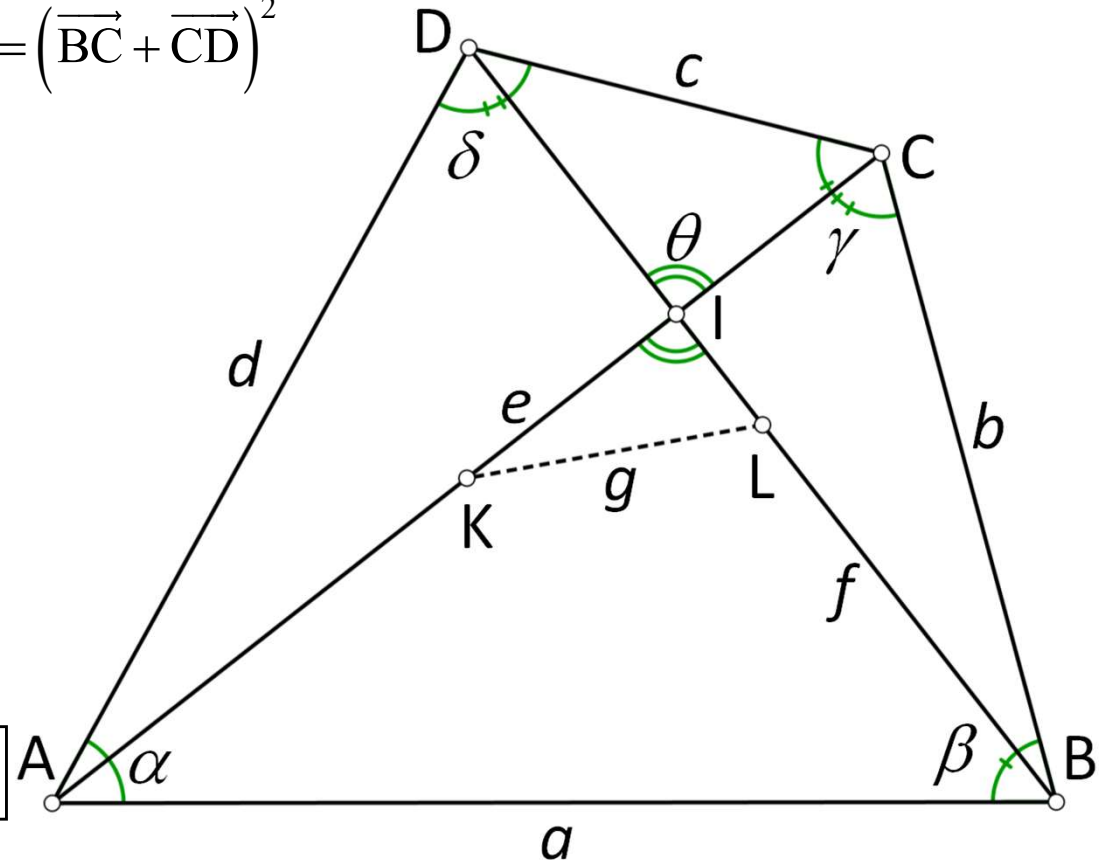
Diagonales: $e^2 = (\overrightarrow{AB} + \overrightarrow{BC})^2$ $f^2 = (\overrightarrow{BC} + \overrightarrow{CD})^2$

$$\left. \begin{array}{l} 2\overrightarrow{AK} = \overrightarrow{AB} + \overrightarrow{BC} \\ \overrightarrow{AL} = \overrightarrow{AB} + \frac{1}{2}\overrightarrow{BD} \end{array} \right\} 2\overrightarrow{KL} = \overrightarrow{AB} + \overrightarrow{CD}$$

$$a = \overrightarrow{AB} \quad b = \overrightarrow{BC} \quad c = \overrightarrow{CD}$$

$$a + b + c = \overrightarrow{AB} + \overrightarrow{BC} + \overrightarrow{CD} = \overrightarrow{AD}$$

$$e^2 + f^2 + 4g^2 = a^2 + b^2 + c^2 + d^2$$



$g = 0 \Rightarrow$ égalité du parallélogramme

$$\Sigma_{ABD} = AI \cdot f \cdot \sin(\theta) / 2$$

$$\Sigma_{BCD} = IC \cdot f \cdot \sin(\theta) / 2$$

$$\Sigma_{ABCD} = e \cdot f \cdot \sin(\theta) / 2$$

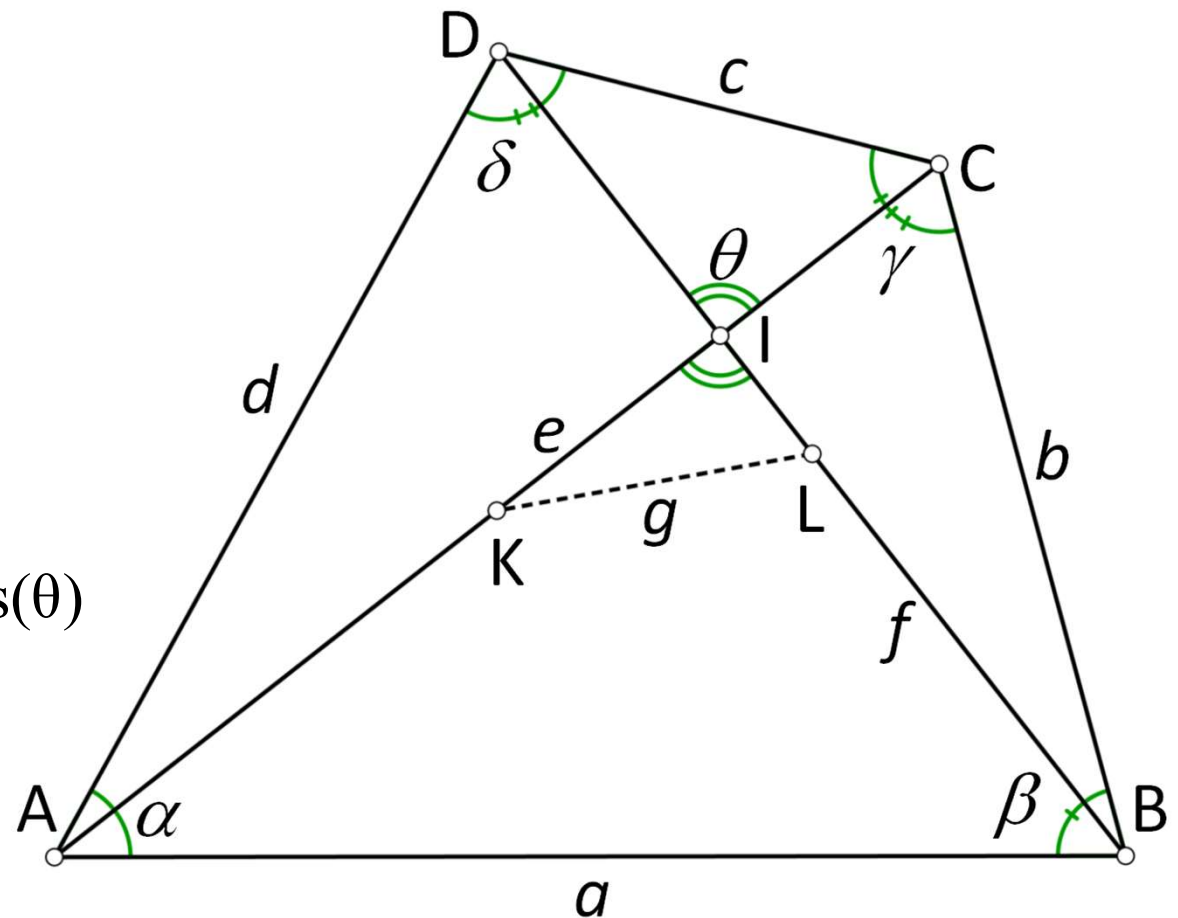
Loi des cosinus:

$$|a^2 - b^2 + c^2 - d^2| = 2ef \cos(\theta)$$

$$\tan(\theta) = \frac{4\Sigma_{ABCD}}{|a^2 - b^2 + c^2 - d^2|}$$

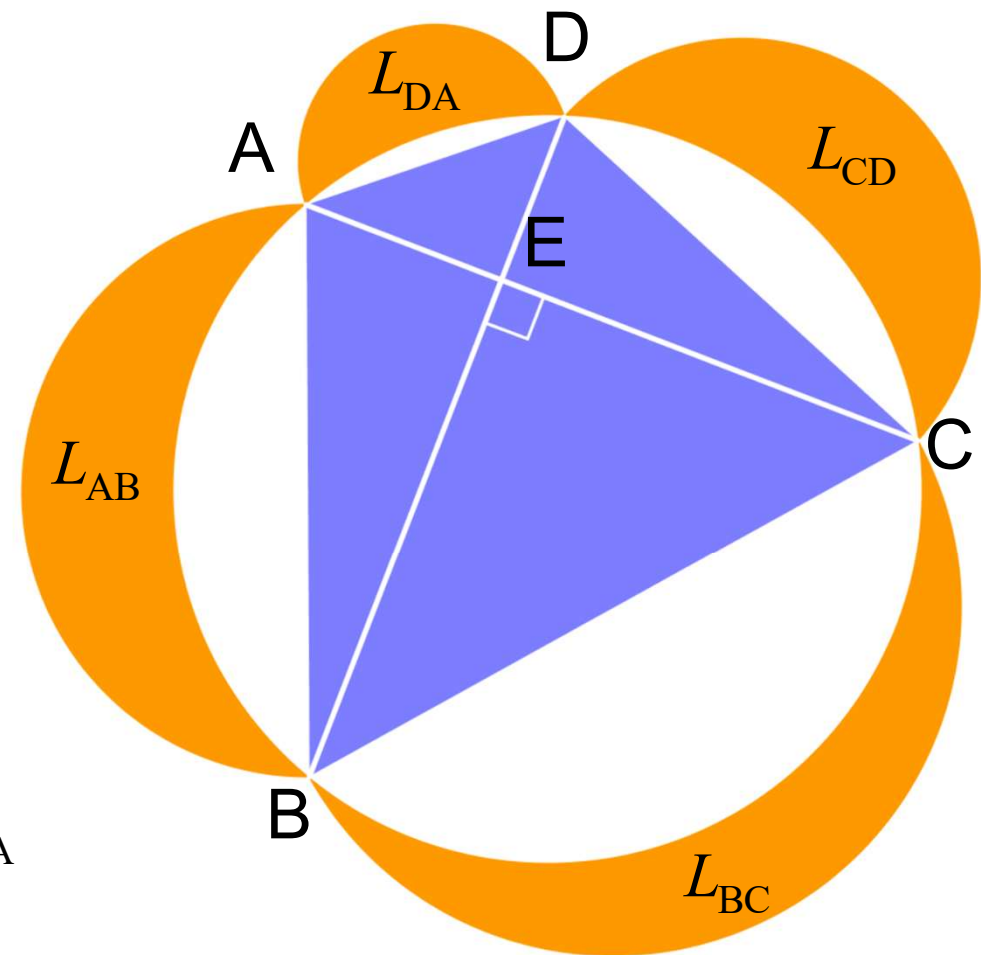
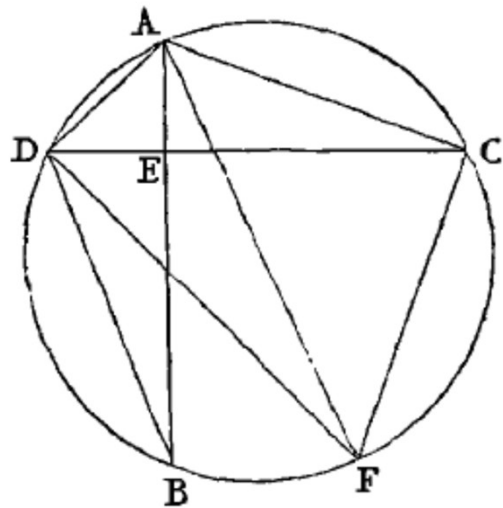
$$\theta = \frac{\pi}{2}$$

$$a^2 + c^2 = b^2 + d^2 = AI^2 + BI^2 + CI^2 + DI^2$$



Généralisation des lunules d'Hippocrate

(F. Sammarcelli)



$$\Sigma_{ABD} = L_{AB} + L_{BC} + L_{CD} + L_{DA}$$



$$\left. \begin{array}{l} \Sigma = e \cdot f \cdot \sin(\theta) / 2 \\ |a^2 - b^2 + c^2 - d^2| = 2ef \cos(\theta) \end{array} \right\} \Sigma = \frac{1}{4} \sqrt{4e^2 f^2 - (a^2 - b^2 + c^2 - d^2)^2}$$

J. L. Coolidge (1932) $p = (a + b + c + d)/2$

$$\Sigma = \sqrt{(p-a)(p-b)(p-c)(p-d) - \frac{1}{4}(ac+bd+ef)(ac+bd-ef)}$$

C. Bretschneider (1842)

$$\Sigma = \sqrt{(p-a)(p-b)(p-c)(p-d) - abcd \cos^2\left(\frac{\alpha + \gamma}{2}\right)}$$

F. Sammarcelli (2024)

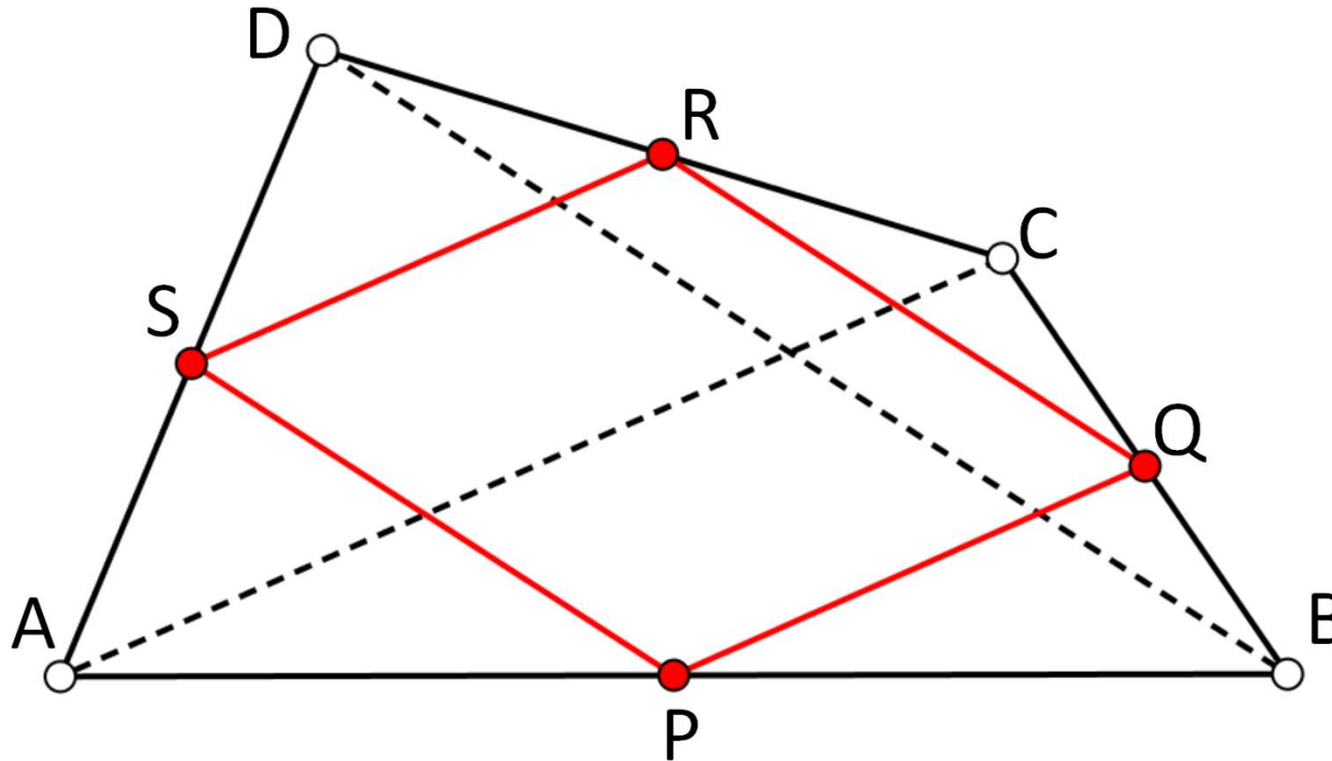
$$\Sigma = \sqrt{(p-a)(p-b)(p-c)(p-d) - abcd \sin^2\left(\frac{\alpha - \beta + \gamma - \delta}{4}\right)}$$

$d = 0 \Rightarrow$ Héron Quadrilatère inscriptible : $ac + bd = ef$ ou $\alpha + \gamma = \beta + \delta = \pi$



Pierre Varignon (1654-1722)

P, Q, R, S milieux des côtés



PQRS Parallélogramme

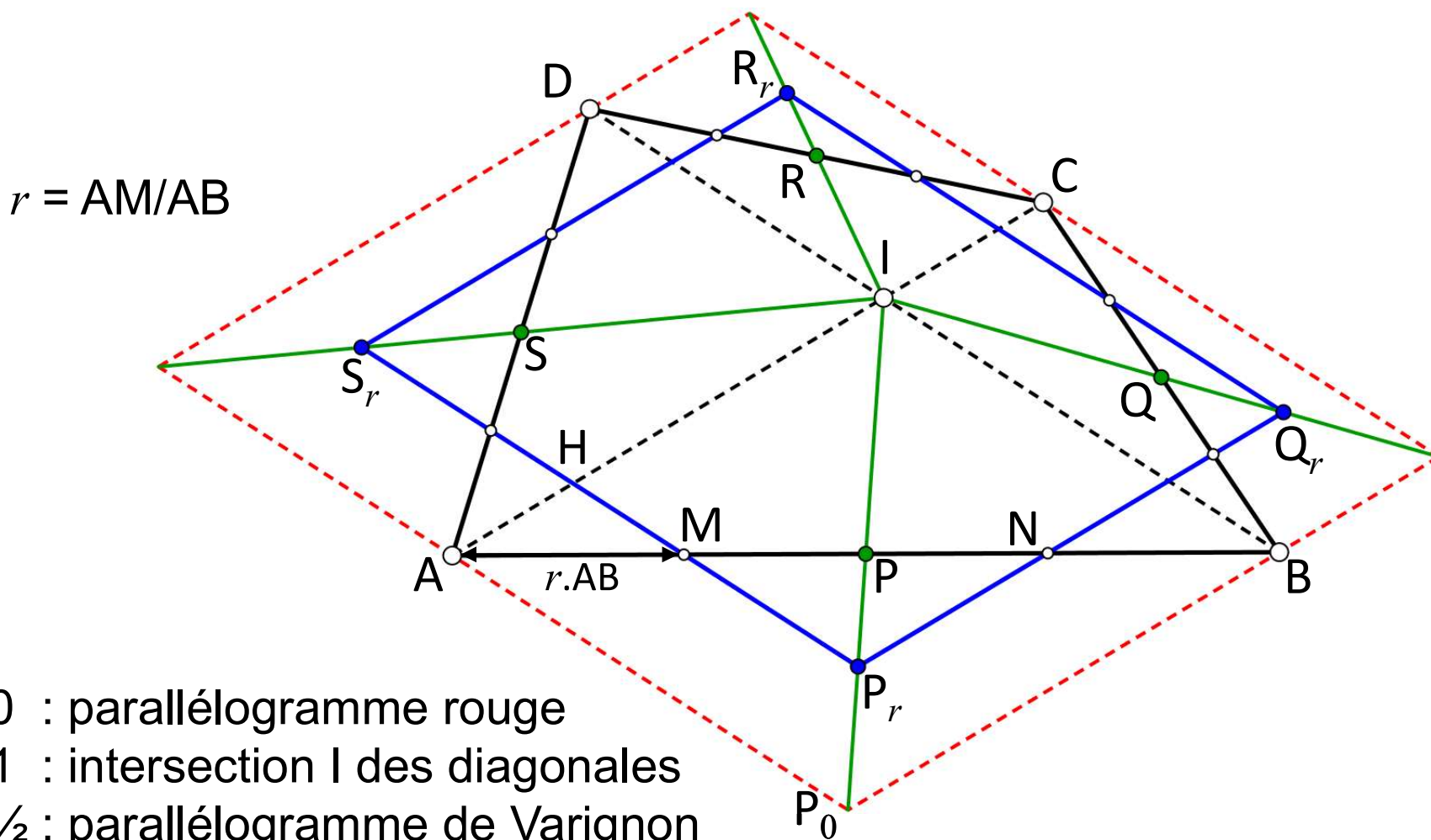
$$\Sigma_{PQRS} = \Sigma_{ABCD}/2$$



Généralisation de Varignon

P, Q, R, S milieux des côtés

Famille de parallélogrammes Π_r : côtés parallèles aux diagonales AC et BD



Quadrilatères convexes

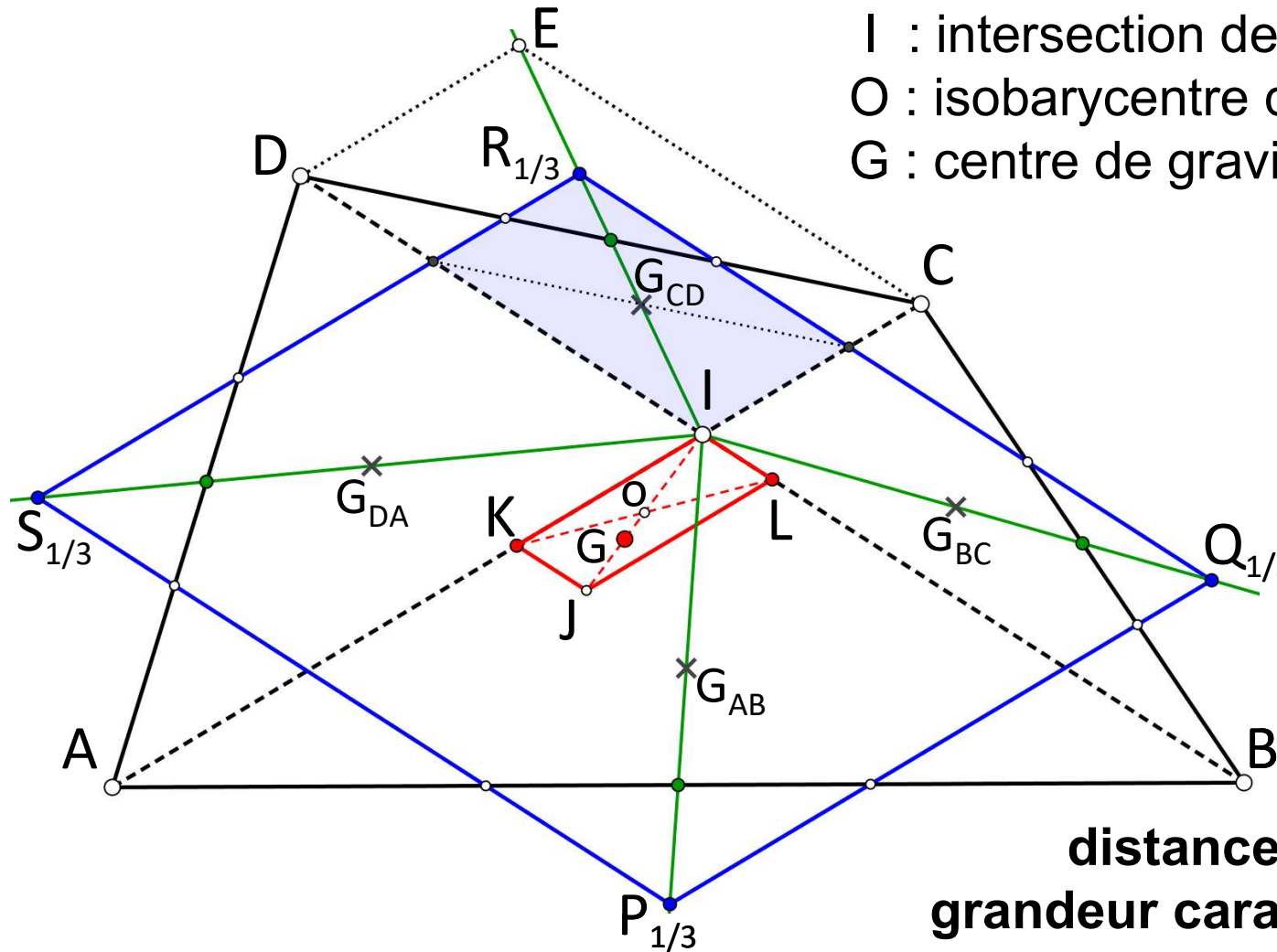
Théorème de Wittenbauer (1857-1922) : $\Pi_{1/3}$

K, L : milieux des diagonales

I : intersection des diagonales

O : isobarycentre des sommets

G : centre de gravité de la plaque ABCD



$$OG = OJ/3$$

I, O et G alignés

distance KL =
 grandeur caractéristique
 du quadrilatère convexe ABCD



Les polygones

Georg PICK (1859-1942)

$$P(B, I) \quad S(B, I)?$$

$$B = B_1 + B_2 - 2(n + 1)$$

$$S = S_1 + S_2$$

$$I = I_1 + I_2 + n$$

élimination de n :

$$B + 2I = B_1 + B_2 + 2I_1 + 2I_2 - 2$$

$$B + 2I - 2 = (B_1 + 2I_1 - 2) + (B_2 + 2I_2 - 2)$$

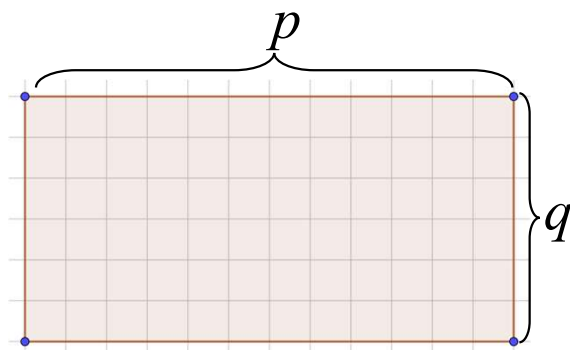
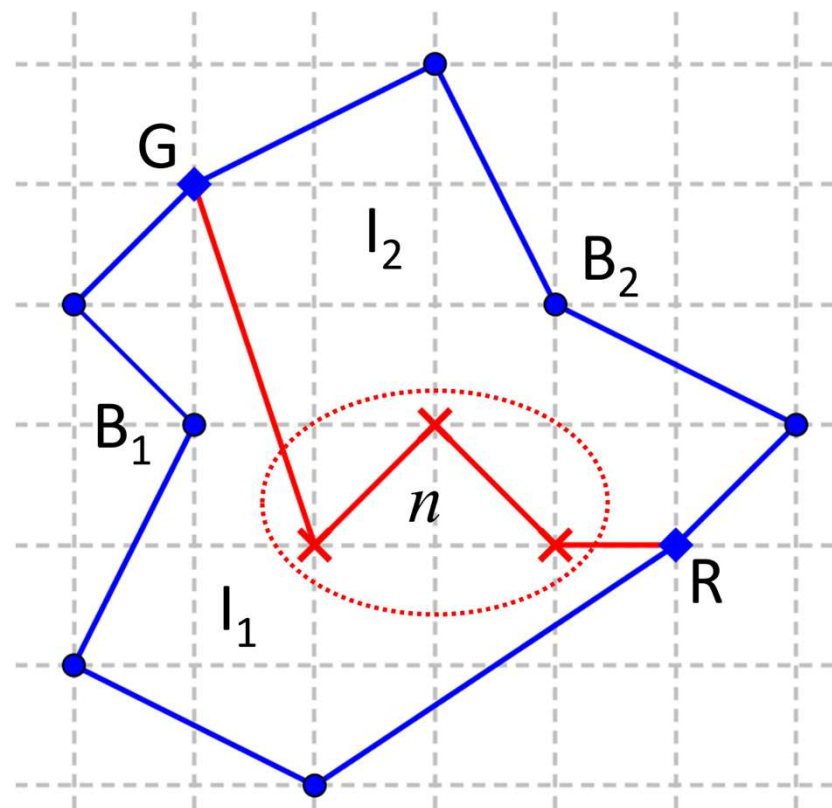
$$S = a(B + 2I - 2) \quad a = ?$$

$$T(3, 0) = 1/2 \Rightarrow a = 1/2$$

$$S = \frac{B}{2} + I - 1$$

Intuition-déduction: $\left. \begin{array}{l} B = 2(p + q) \\ I = (p - 1)(q - 1) \end{array} \right\} \Rightarrow S = pq = \frac{B}{2} + I - 1$

On intuite le résultat, on le démontre ensuite...



Triangulation par N triangles de surface $\frac{1}{2}$: $S = N/2$

Calcul de la somme des angles des triangles de 2 façons

$$\sum_{i=1}^7 \alpha_i = 2\pi$$

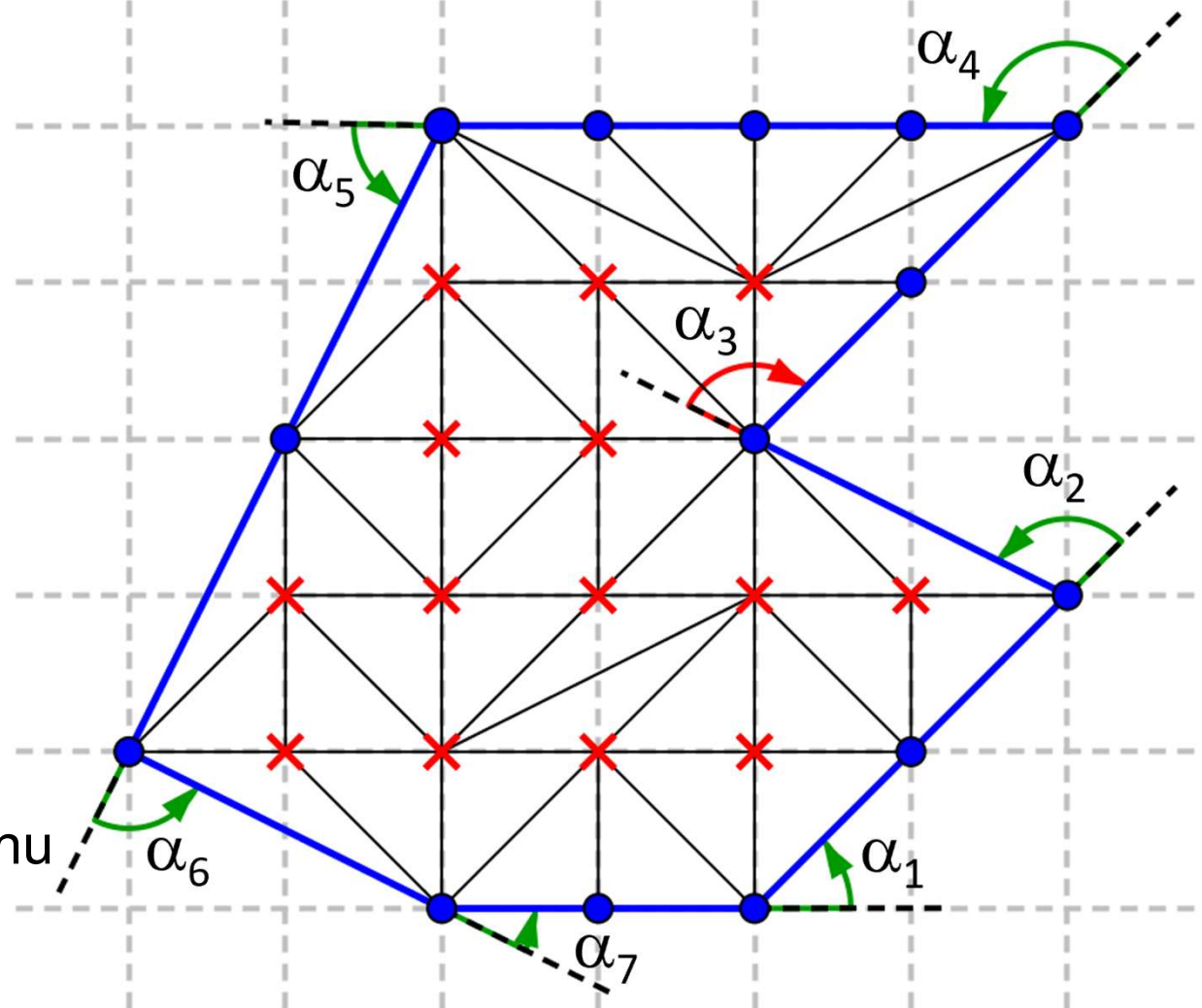
$$N\pi = 2\pi I + \pi B - 2\pi$$

$$S = \frac{B}{2} + I - 1$$

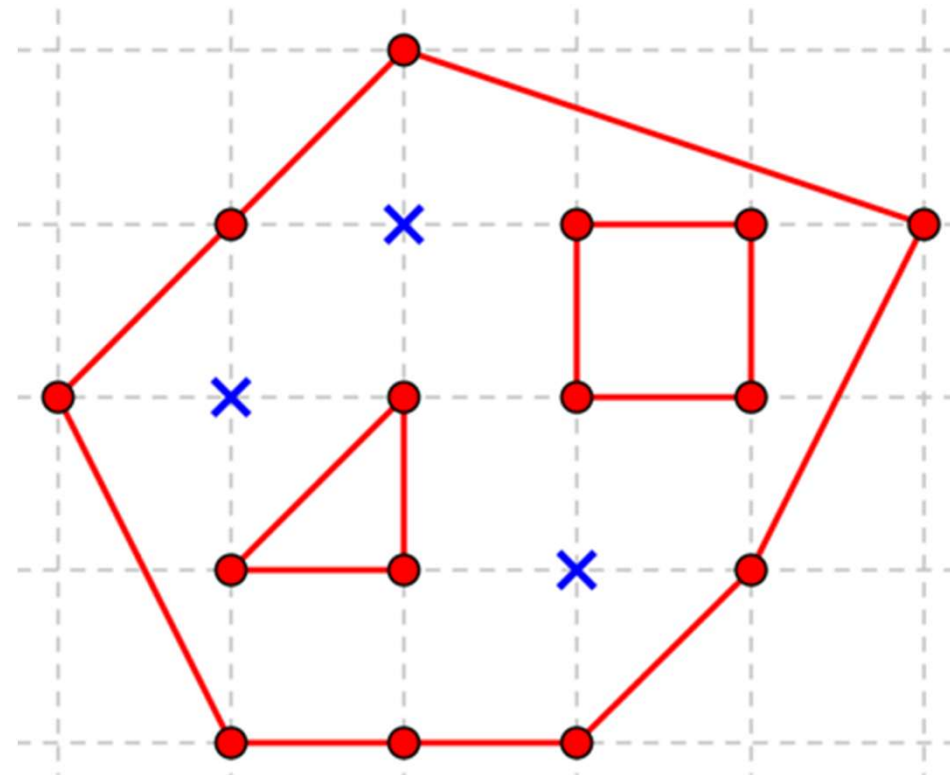
Autre méthode

On élève les points intérieurs et on applique au polyèdre obtenu la formule d'Euler:

$$F - A + S = 2$$



Polygone à n trou(s)



Par récurrence:

$$S_n = \frac{B}{2} + I + n - 1$$



Les polygones

Théorème de Bolyai(-Gerwien) :

*Deux polygones équivalents
sont équidécomposables*

Équivalent \Leftrightarrow même surface

Problème posé par
Bolyai Farkas (1775-1856)
en 1790

Démonstration :

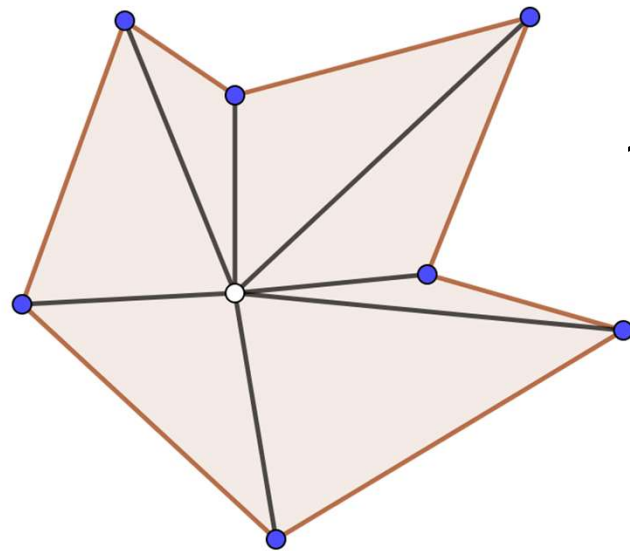
John Lowry : 1814

William Wallace : 1831

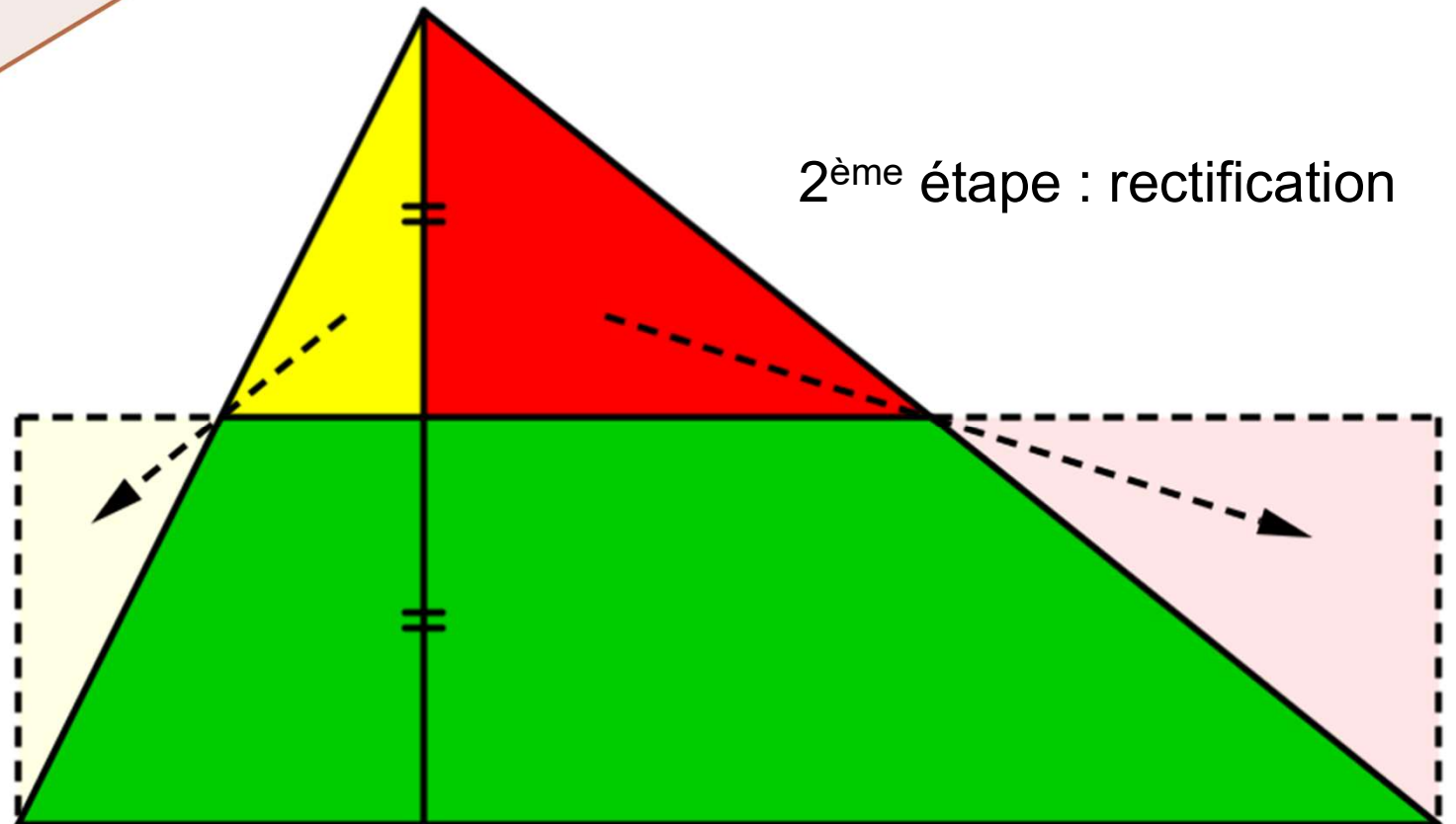
Bolyai farkas : 1832

Paul Gerwien : 1833





1^{ère} étape: triangulation

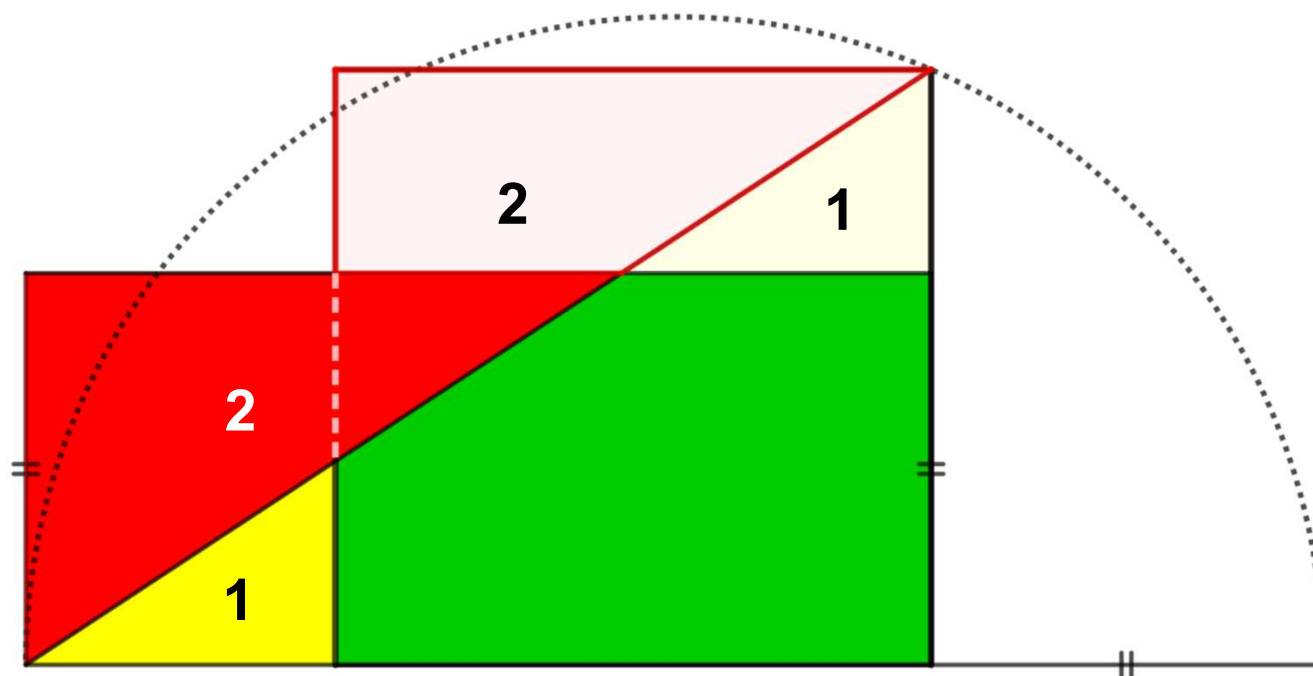
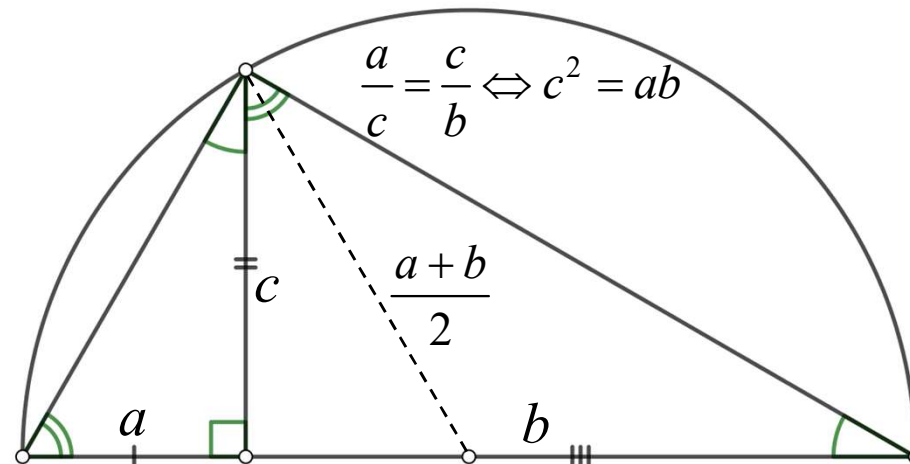


2^{ème} étape : rectification

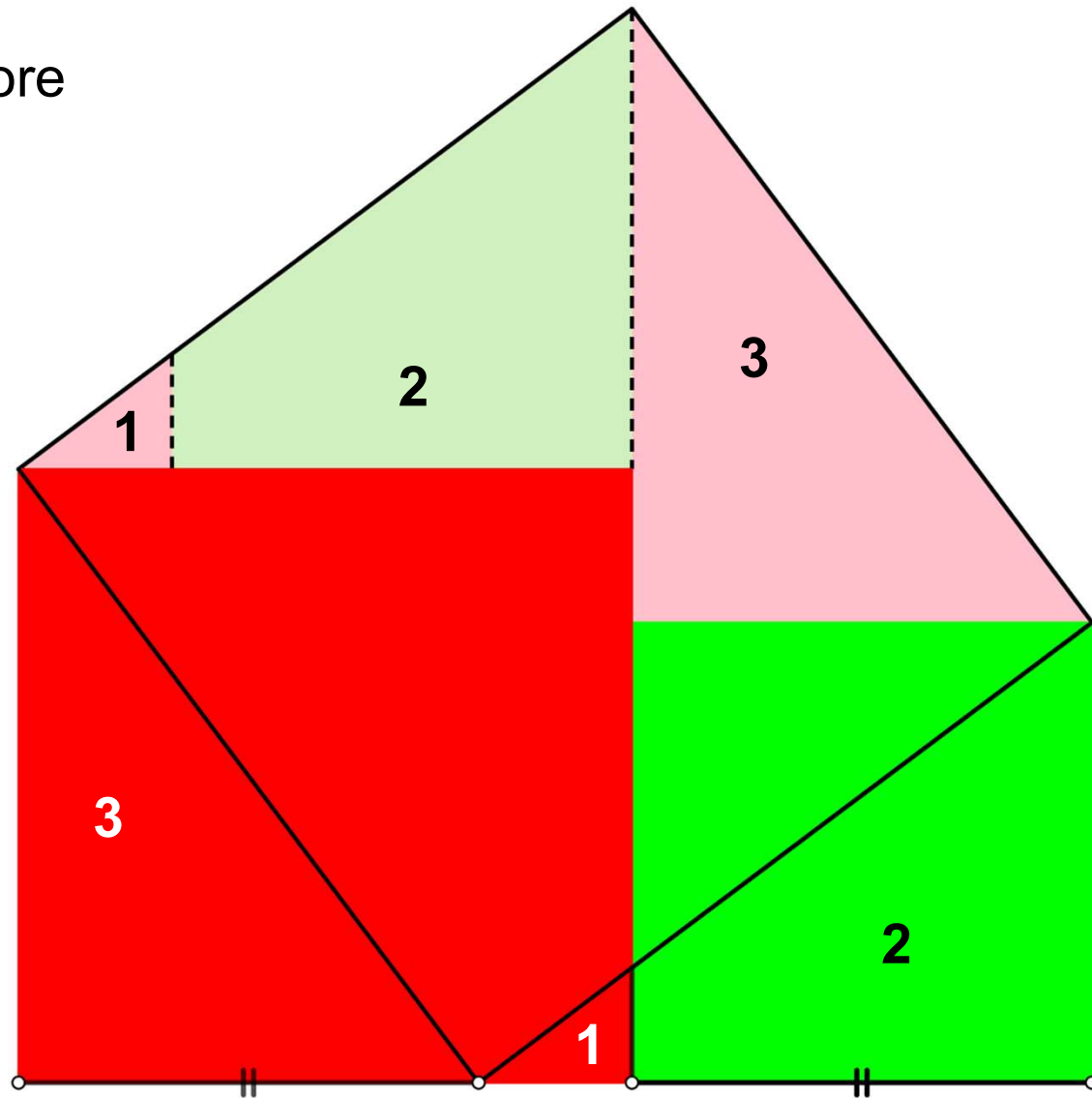


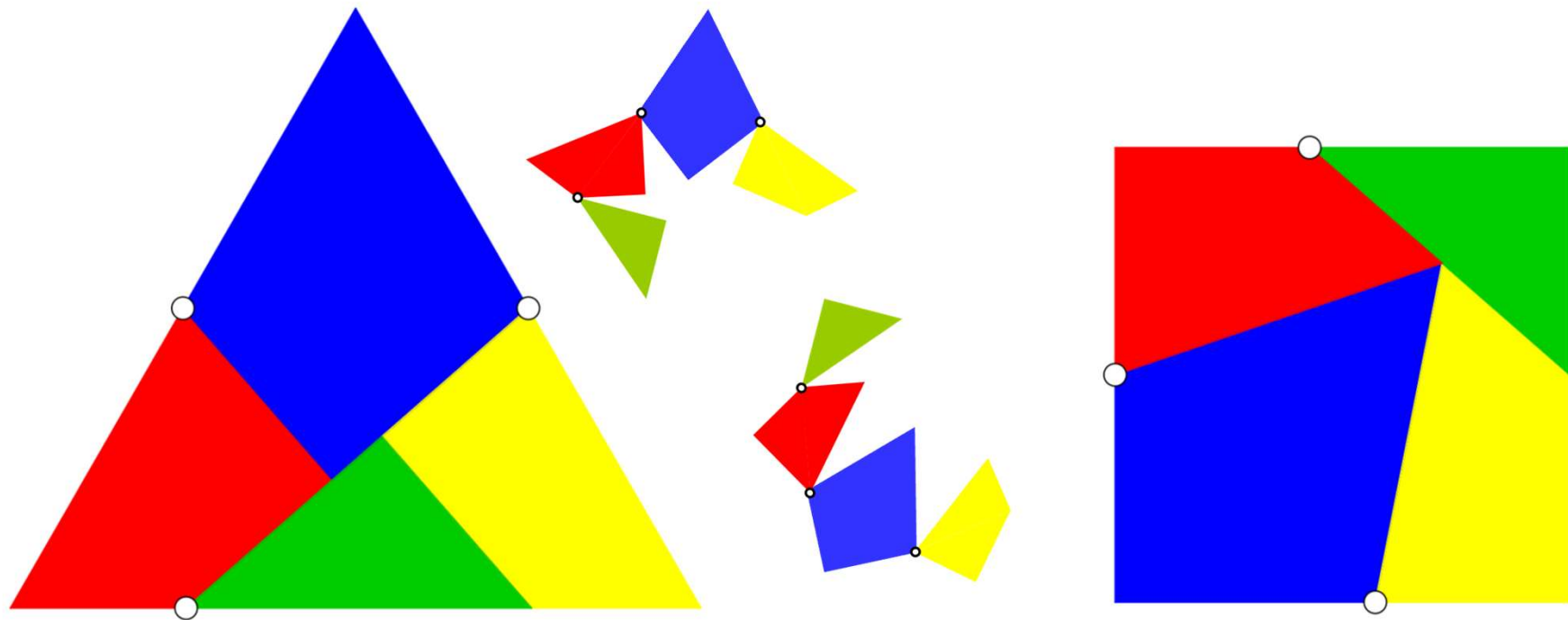


3^{ème} étape : quadrature



4^{ème} étape : Pythagore

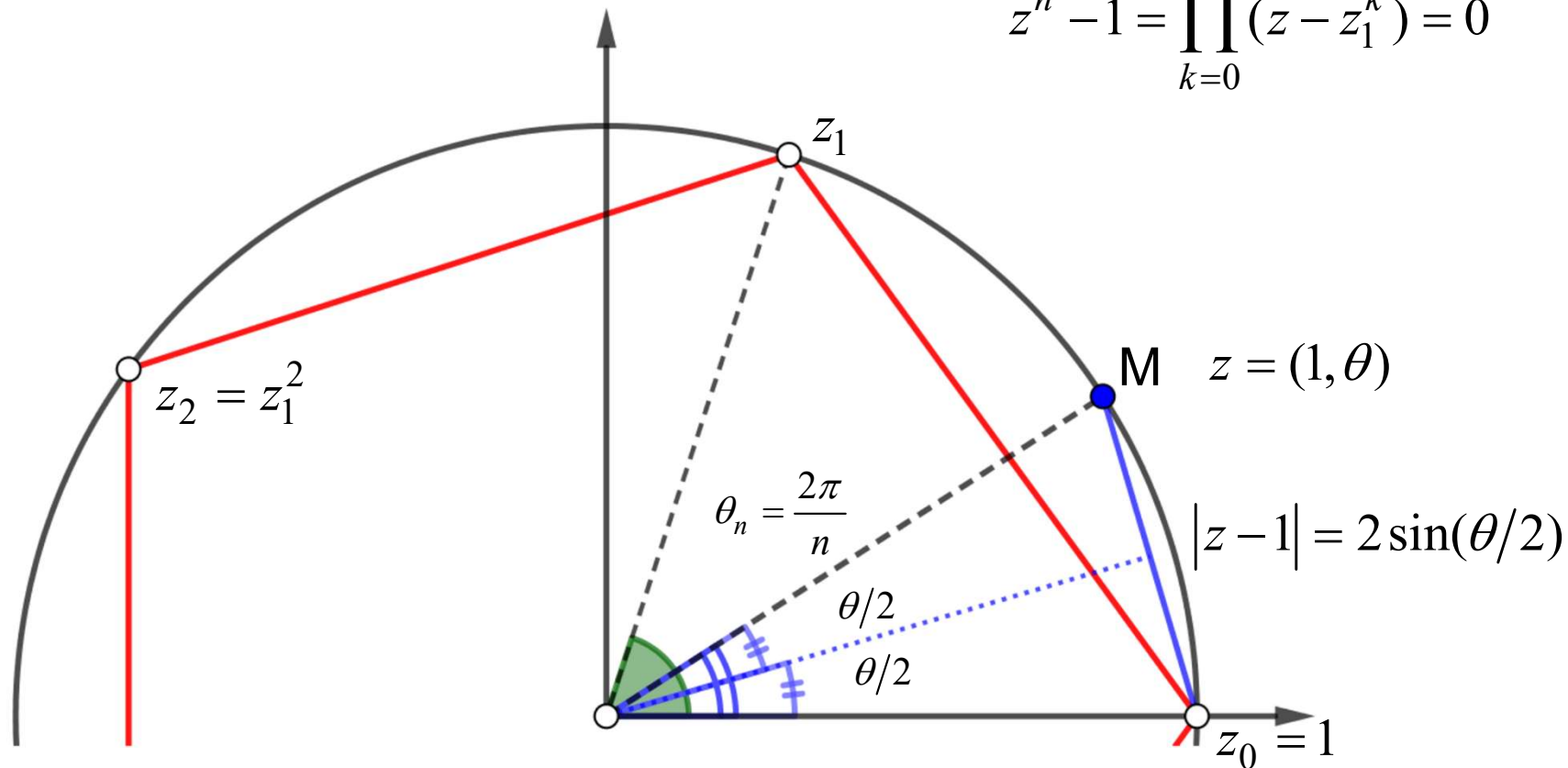




Erik Demaine : toujours possible!

n -gone régulier, sommets d'affixe $z_k = z_1^k$ racines $n^{\text{ième}}$ de l'unité.

$$z^n - 1 = \prod_{k=0}^{n-1} (z - z_1^k) = 0$$



Point courant M. On pose : $\theta = x \cdot \theta_n = \frac{2\pi x}{n}$



Produit $P_n(x)$ des distances de M aux n sommets.

$$z^n - 1 = \prod_{k=0}^{n-1} (z - z_1^k)$$

$$P_n(x+1) = P_n(x) = P_n(1-x)$$

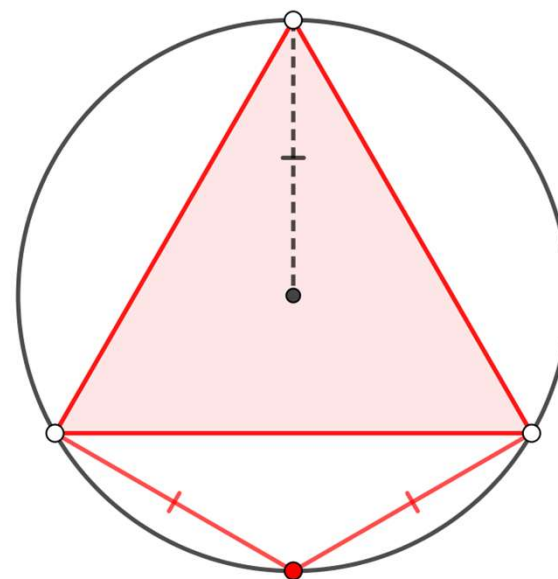
$$\theta = x \cdot \theta_n = \frac{2\pi x}{n}$$

$$P_n(x) = \prod_{k=0}^{n-1} d(M, S_k) = \prod_{k=0}^{n-1} |z - z_1^k| = |z^n - 1|$$

$$P_n(x) = 2 \sin(n\theta / 2) = 2 \sin(\pi x)$$

$$P_n(1/2) = 2$$

$$P_n(x) = \prod_{k=1}^{(n-1)/2} d(M, S_k) = 1$$



$$Q_n = \prod_{k=1}^{n-1} d(S_0, S_k)$$

$$Q_n = \frac{dP_n(x)}{d\theta} \Big|_{\theta=0} = \frac{n}{2\pi} \frac{dP_n(x)}{dx} \Big|_{x=0} = n$$

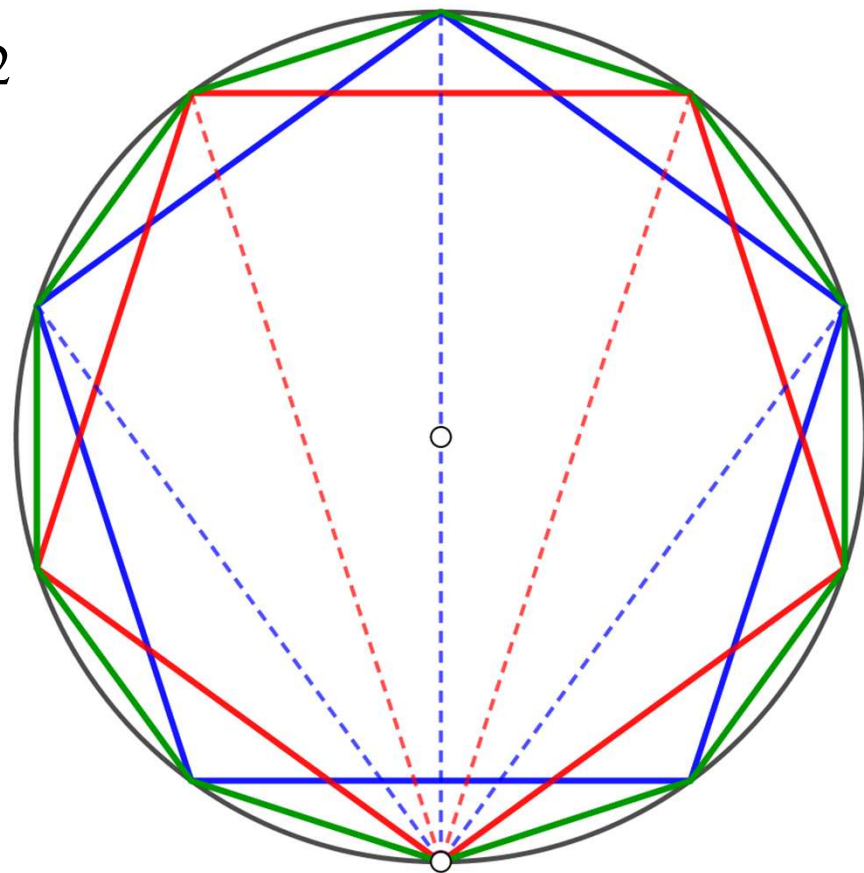
$$Q_{2n} = Q_n \cdot P_n(1/2) \quad P_n(1/2) = \frac{Q_{2n}}{Q_n} = 2$$

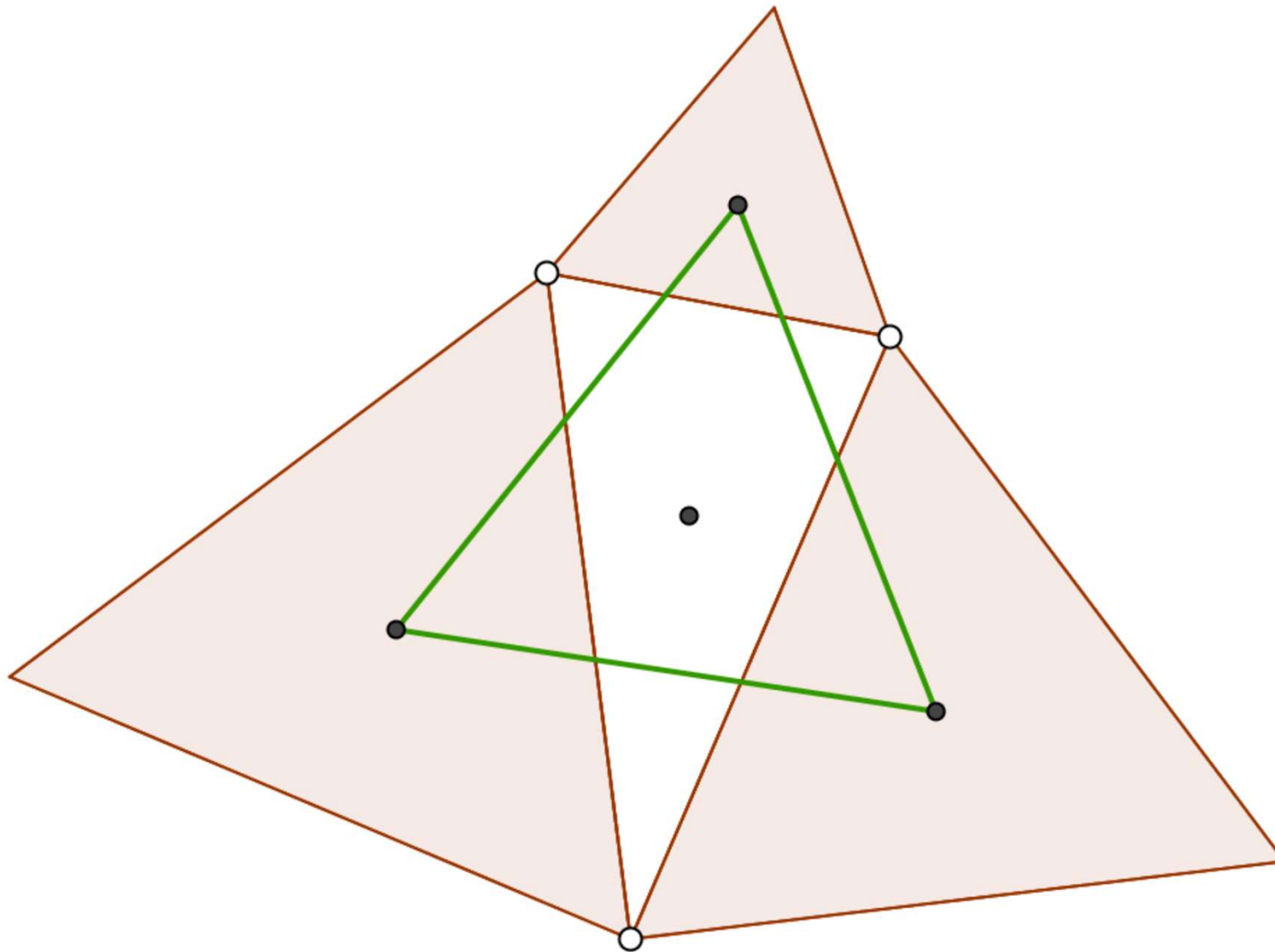
$$P_n(1/6) = P_n(5/6) = 1$$

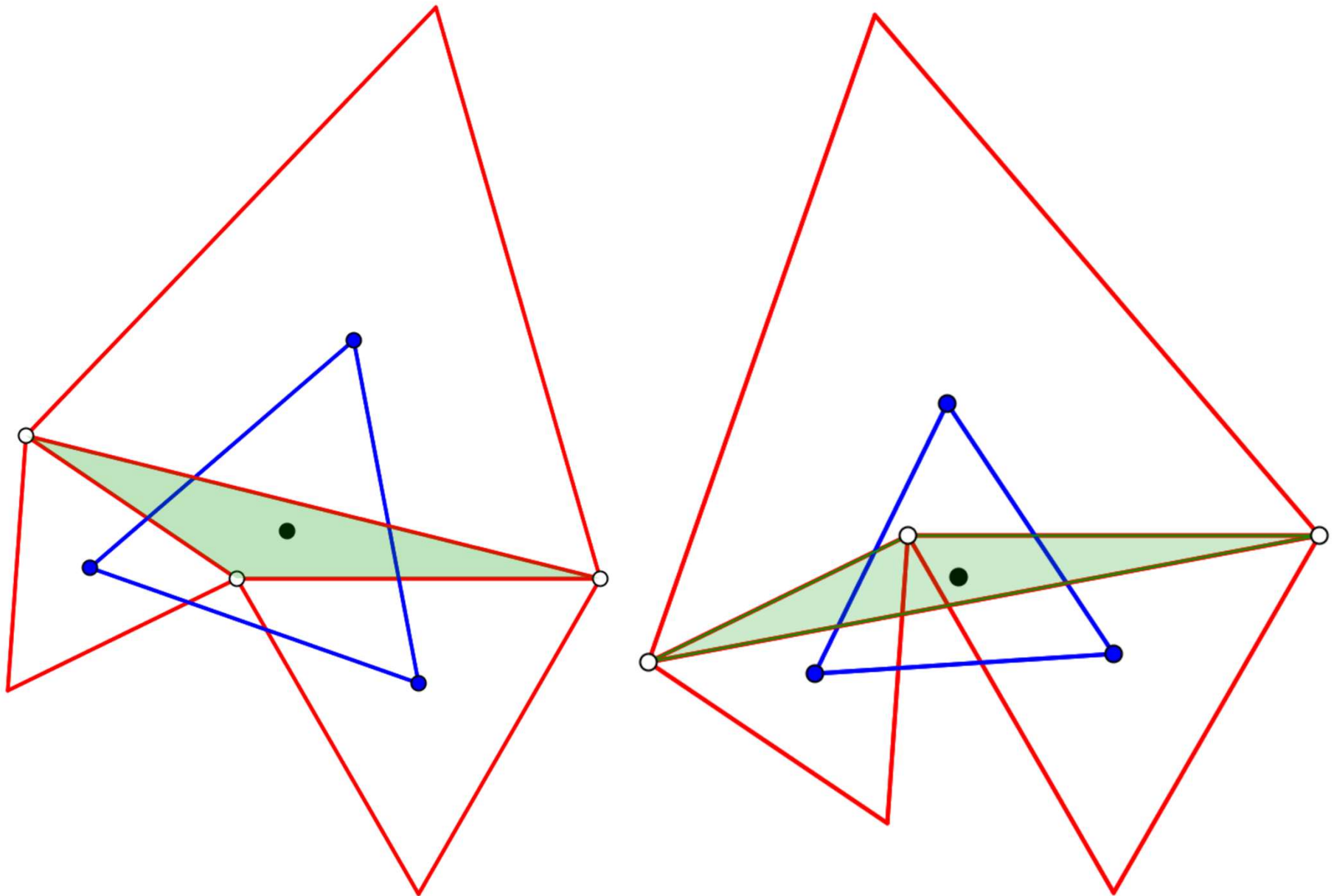
$$P_n(1/4) = P_n(3/4) = \sqrt{2}$$

$$P_n(1/3) = P_n(2/3) = \sqrt{3}$$

$$\prod_{k=0}^{n-1} \sin\left(\frac{k\pi}{n}\right) = \frac{n}{2^{n-1}}$$







Théorème PDN:

Si des triangles isocèles d'angle au sommet $2k\pi/n$ sont élevés sur les côtés d'un n -gone quelconque P_0 , et si ce processus est itéré avec le n -gone constitué par les sommets des triangles avec une valeur différente de k , jusqu'à ce que toutes les valeurs $1 \leq k \leq n-2$ soient utilisées, alors le n -gone P_{n-2} est régulier, et son centroïde coïncide avec celui de P_0 .

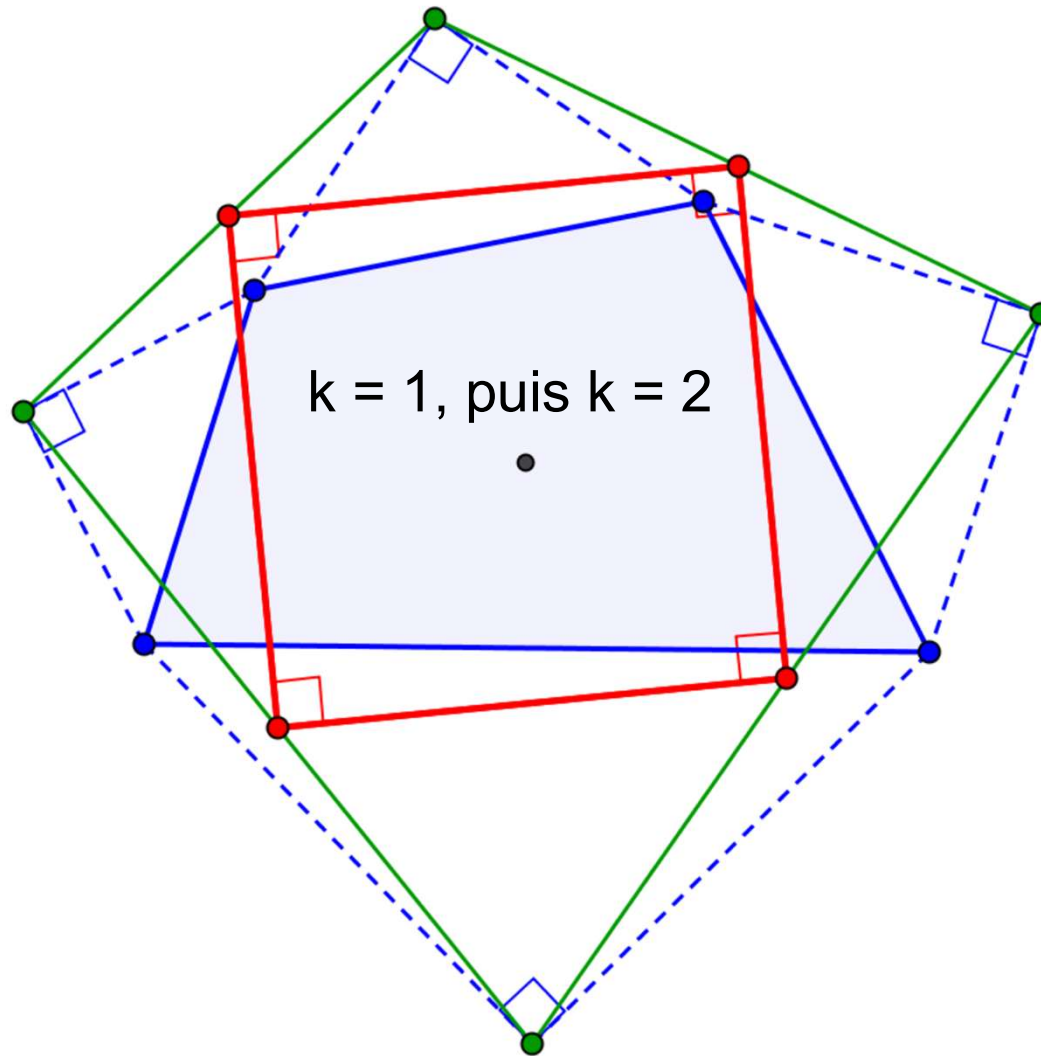


Théorème de Petr-Douglas-Neumann Généralisation

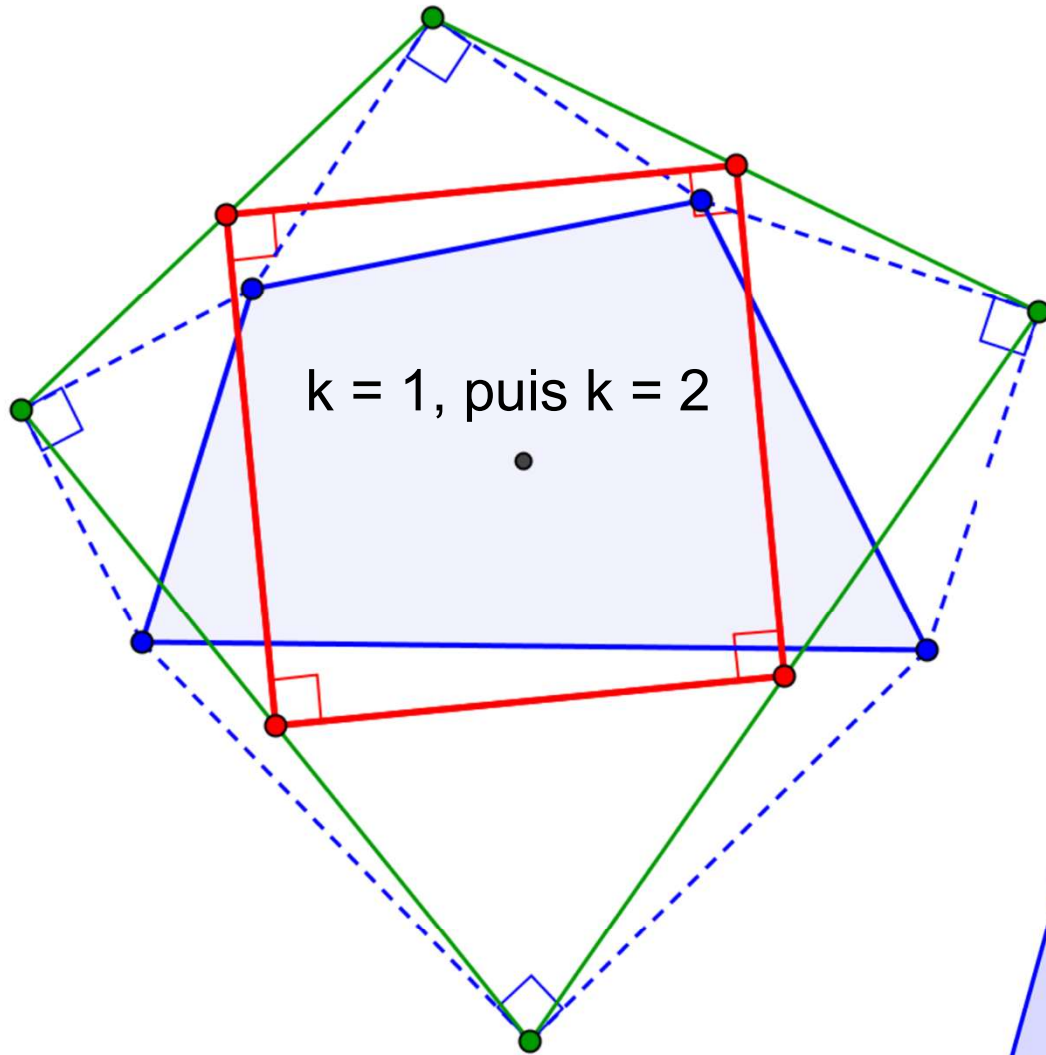
$$n = 4:$$

$$2k\pi/4 = k\pi/2$$

avec $1 \leq k \leq n-2=2$.



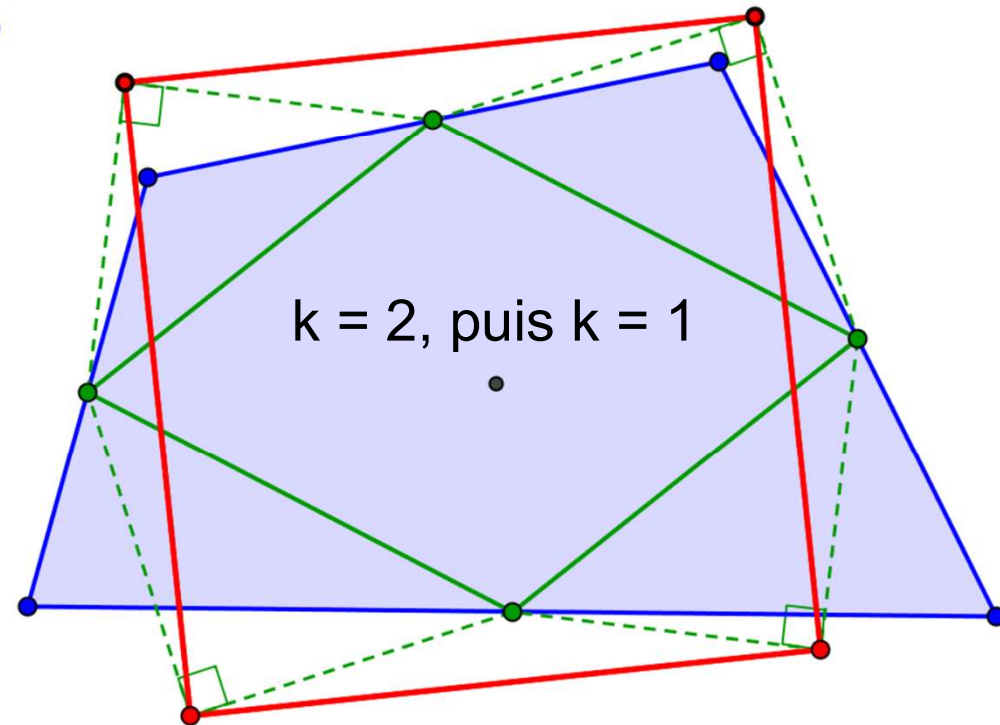
Théorème de Petr-Douglas-Neumann Généralisation



$n = 4:$

$$2k\pi/4 = k\pi/2$$

avec $1 \leq k \leq n-2=2$.



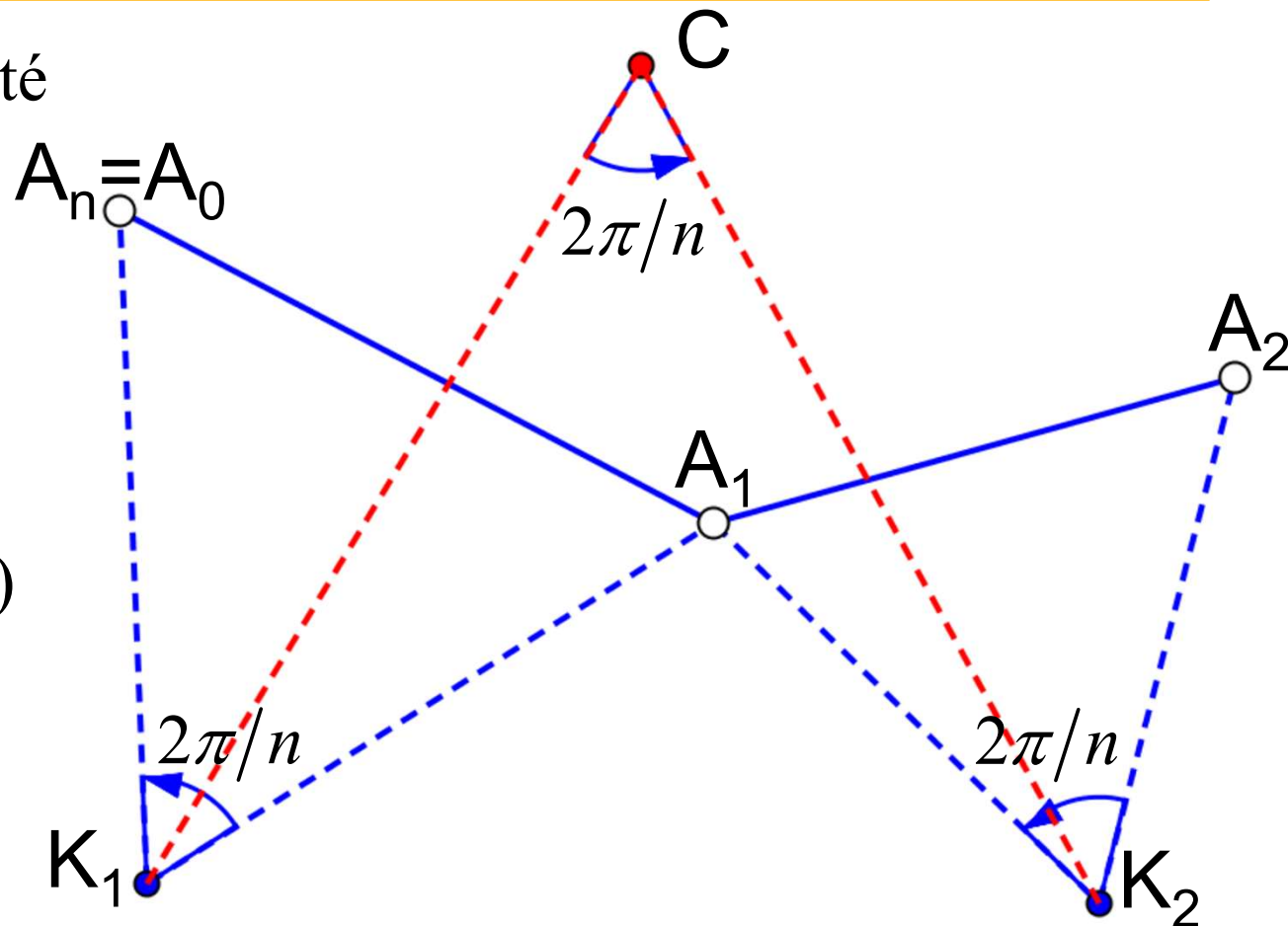
Théorème de Napoléon-Barlotti-Sammarcelli

e racine $n^{\text{ième}}$ de l'unité

$$e^n = 1$$

$$\sum_{i=1}^n e^i = 0$$

$$\begin{cases} a_{i-1} - k_i = e \cdot (a_i - k_i) \\ k_{i+1} - c = e \cdot (k_i - c) \end{cases}$$



$$c = \frac{1}{(1-e)^2} \left[-a_0 \cdot e + a_1 \cdot (1+e^2) - a_2 \cdot e \right]$$



Théorème de Napoléon-Barlotti-Sammarcelli

$$c = \frac{1}{(1-e)^2} \left[-a_0 \cdot e + a_1 \cdot (1+e^2) - a_2 \cdot e \right]$$

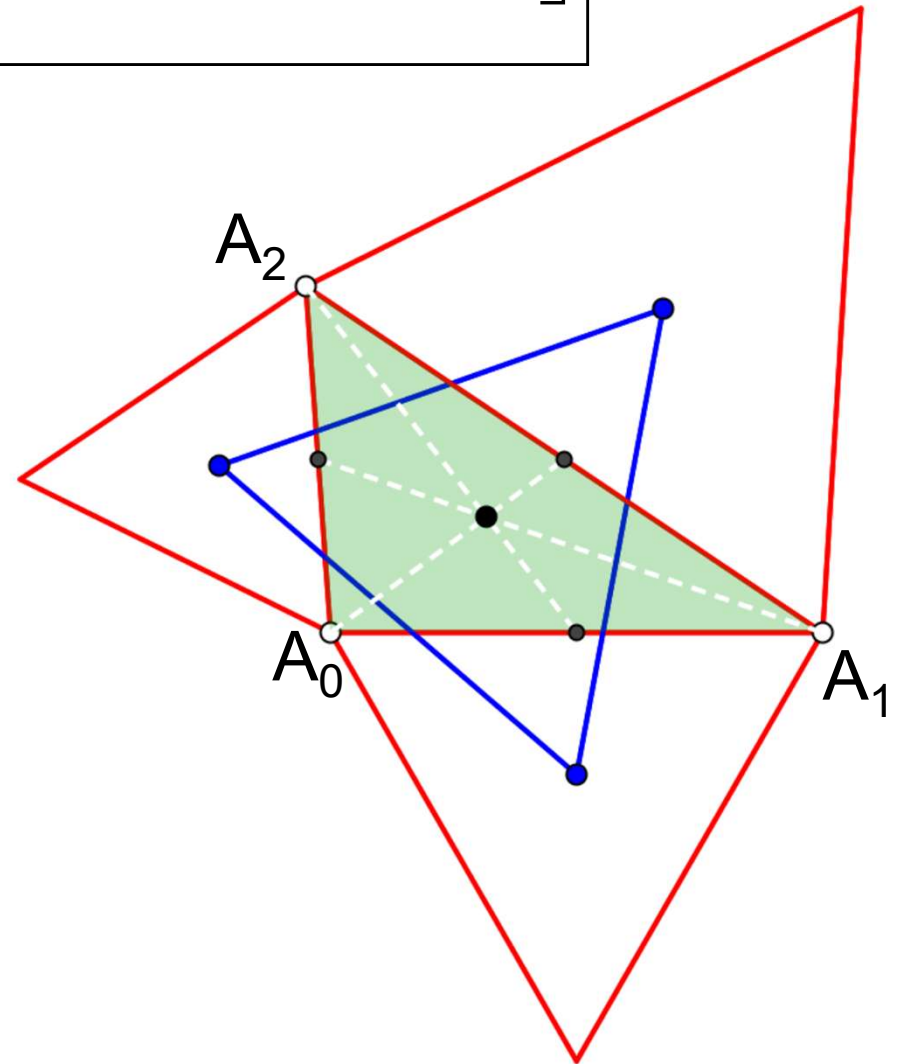
$$n = 3: \quad e = j$$

$$1 + e^2 = -e$$

$$(1-e)^2 = 1 - 2e + e^2 = -3e$$

$$c = \frac{a_0 + a_1 + a_2}{3}$$

⇔ Centre de gravité



Théorème de Napoléon-Barlotti-Sammarcelli

$$c = \frac{1}{(1-e)^2} \left[-a_0 \cdot e + a_1 \cdot (1+e^2) - a_2 \cdot e \right]$$

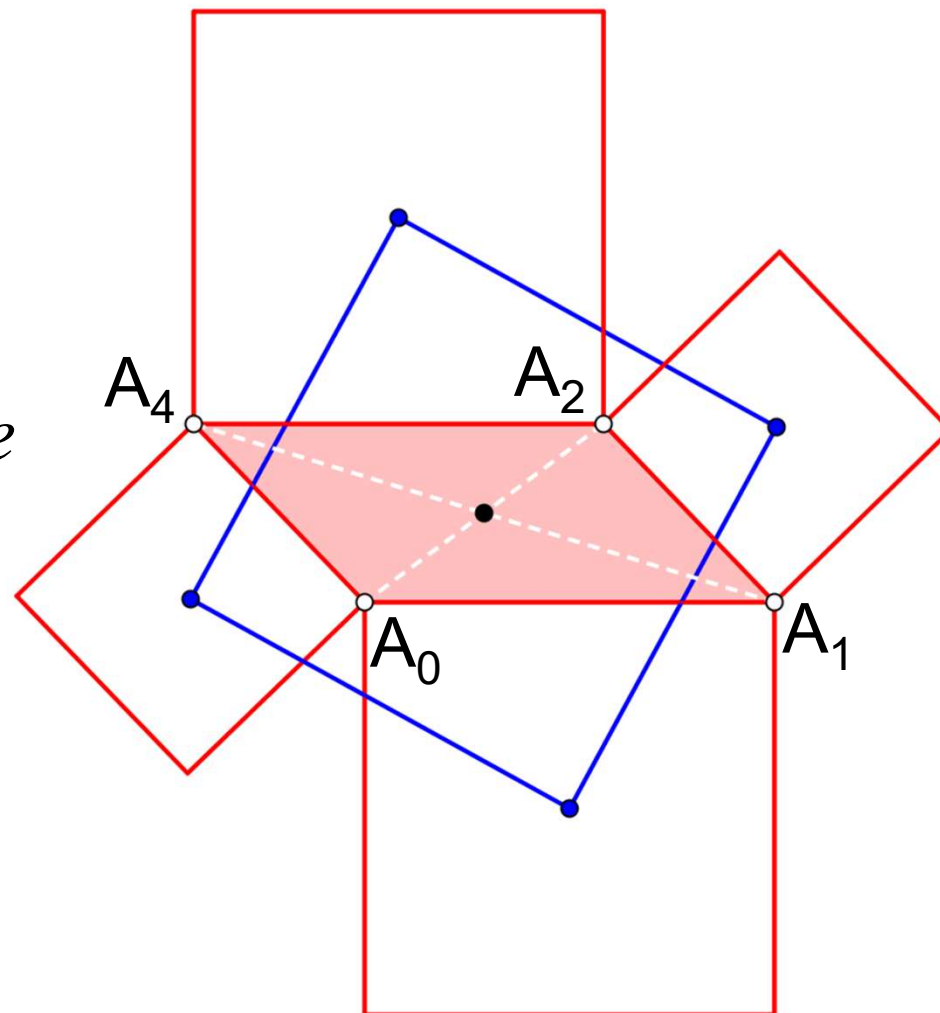
$$n = 4: \quad e = i$$

$$1 + e^2 = 0$$

$$(1 - e)^2 = 1 - 2e + e^2 = -2e$$

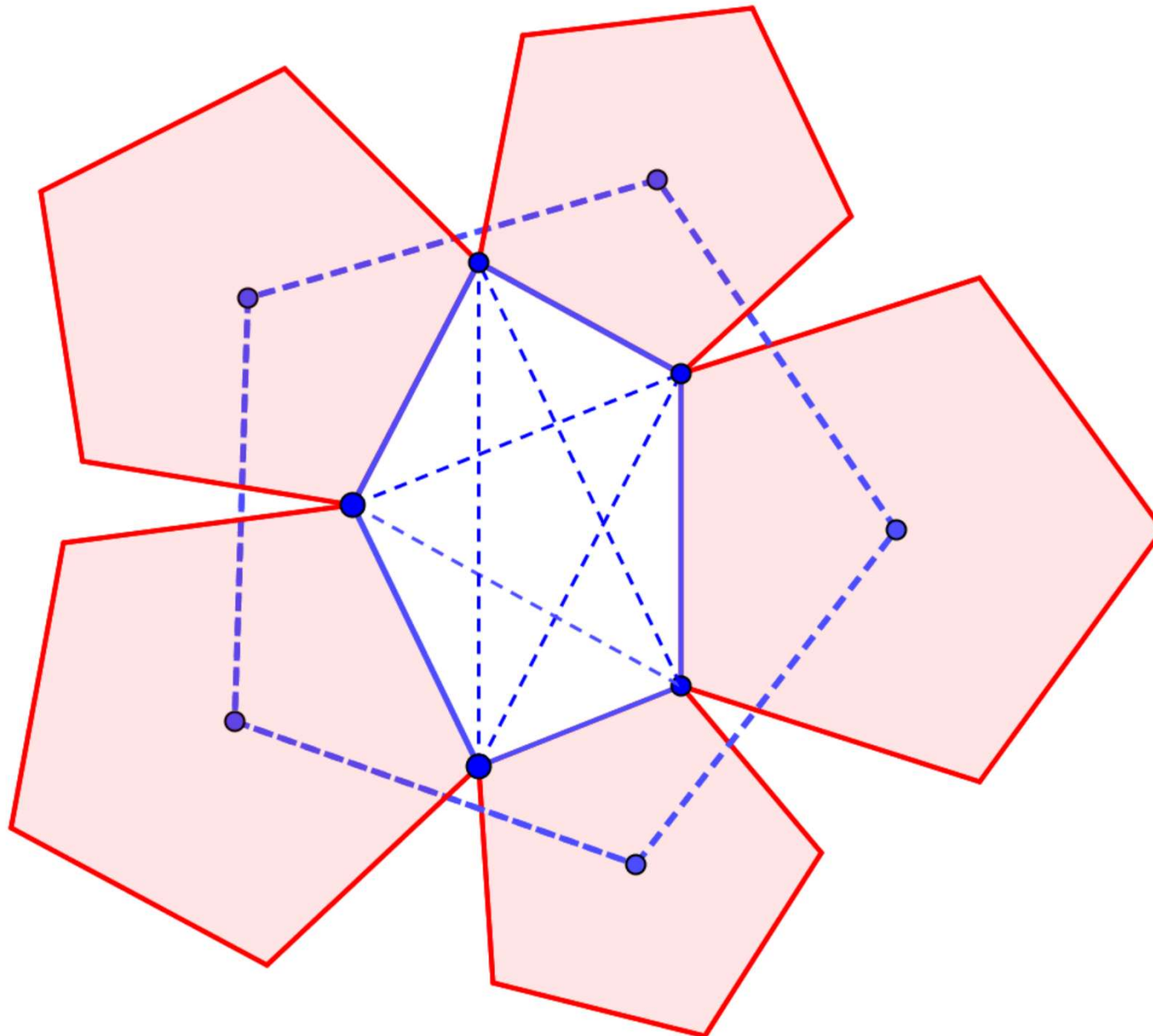
$$c = \frac{a_0 + a_2}{2}$$

⇔ Diagonales concourantes



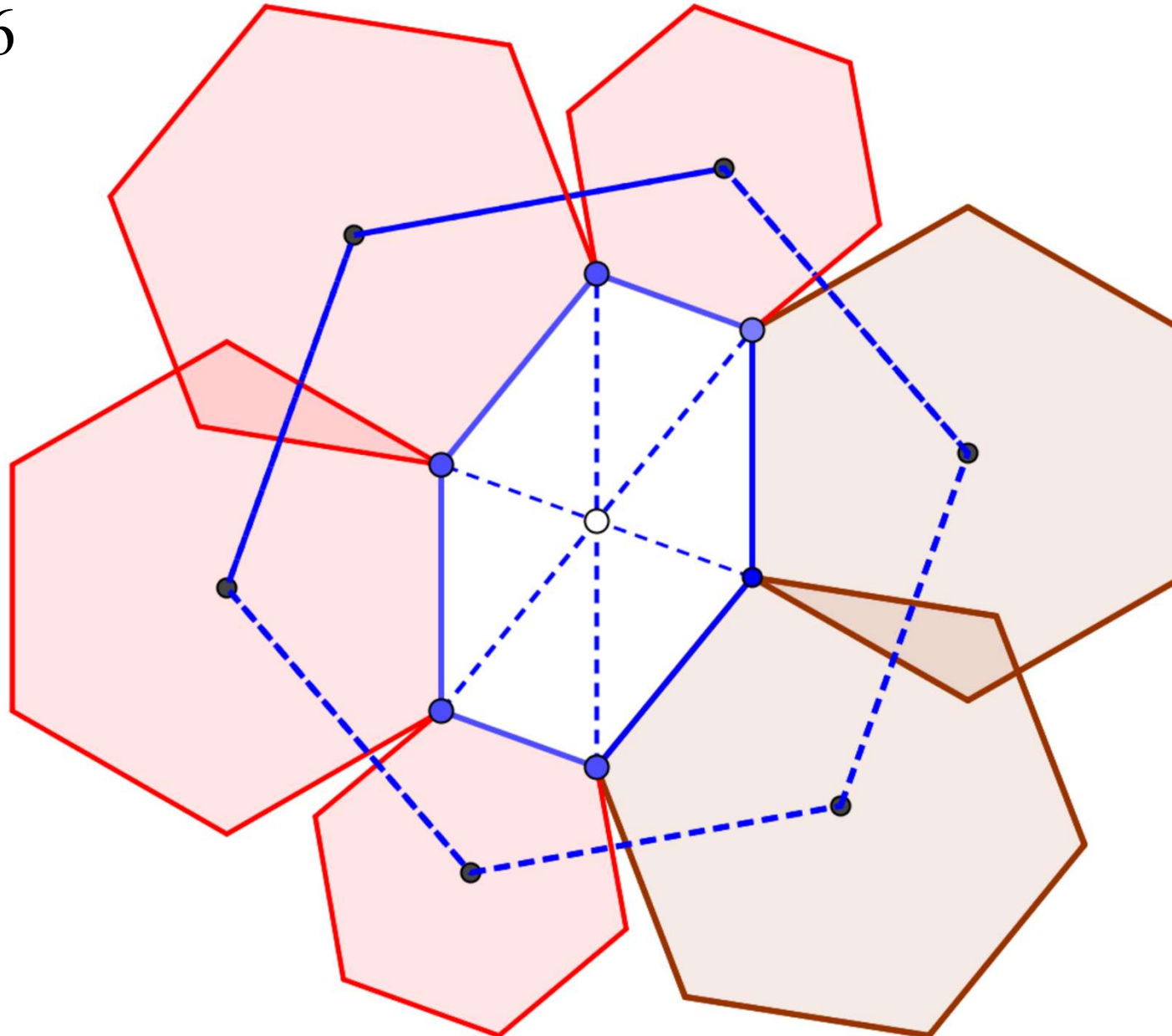
Théorème de Napoléon-Barlotti-Sammarcelli

$n = 5$



Théorème de Napoléon-Barlotti-Sammarcelli

$n = 6$



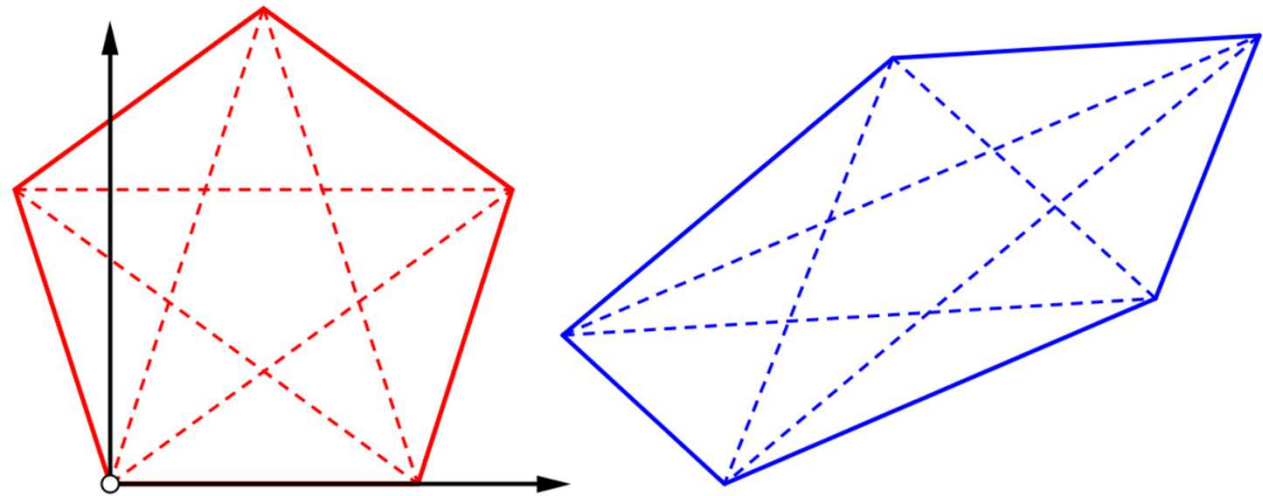
Le théorème s'applique pour tout polygone en correspondance affine avec un polygone régulier.

F. Sammarcelli

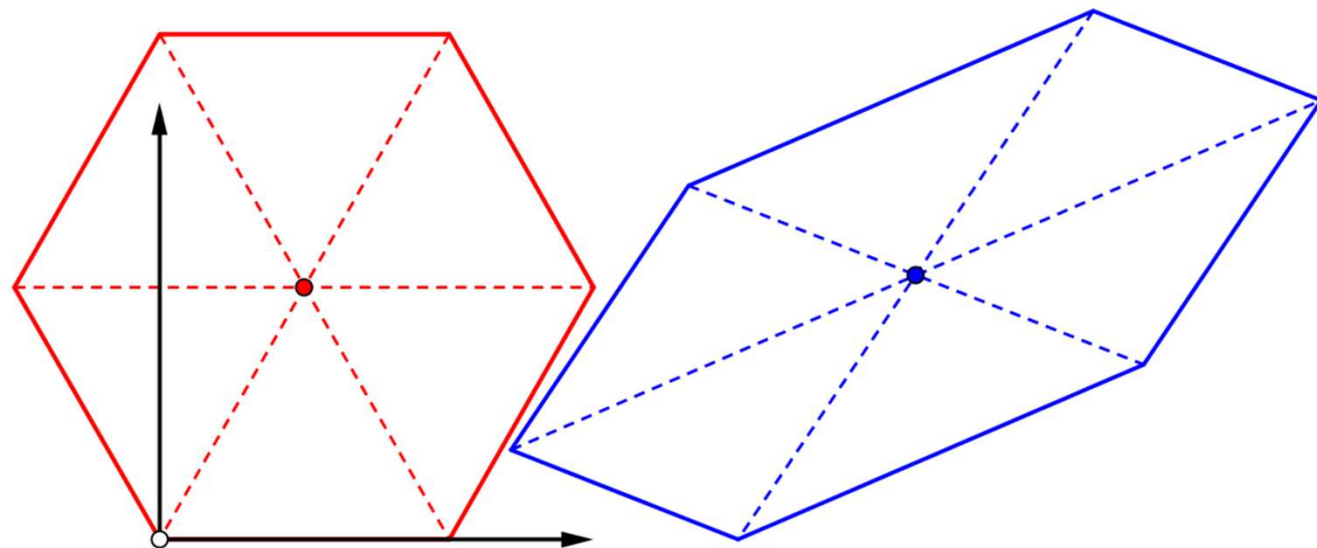
Tout triangle est l'image affine d'un triangle équilatéral

=>

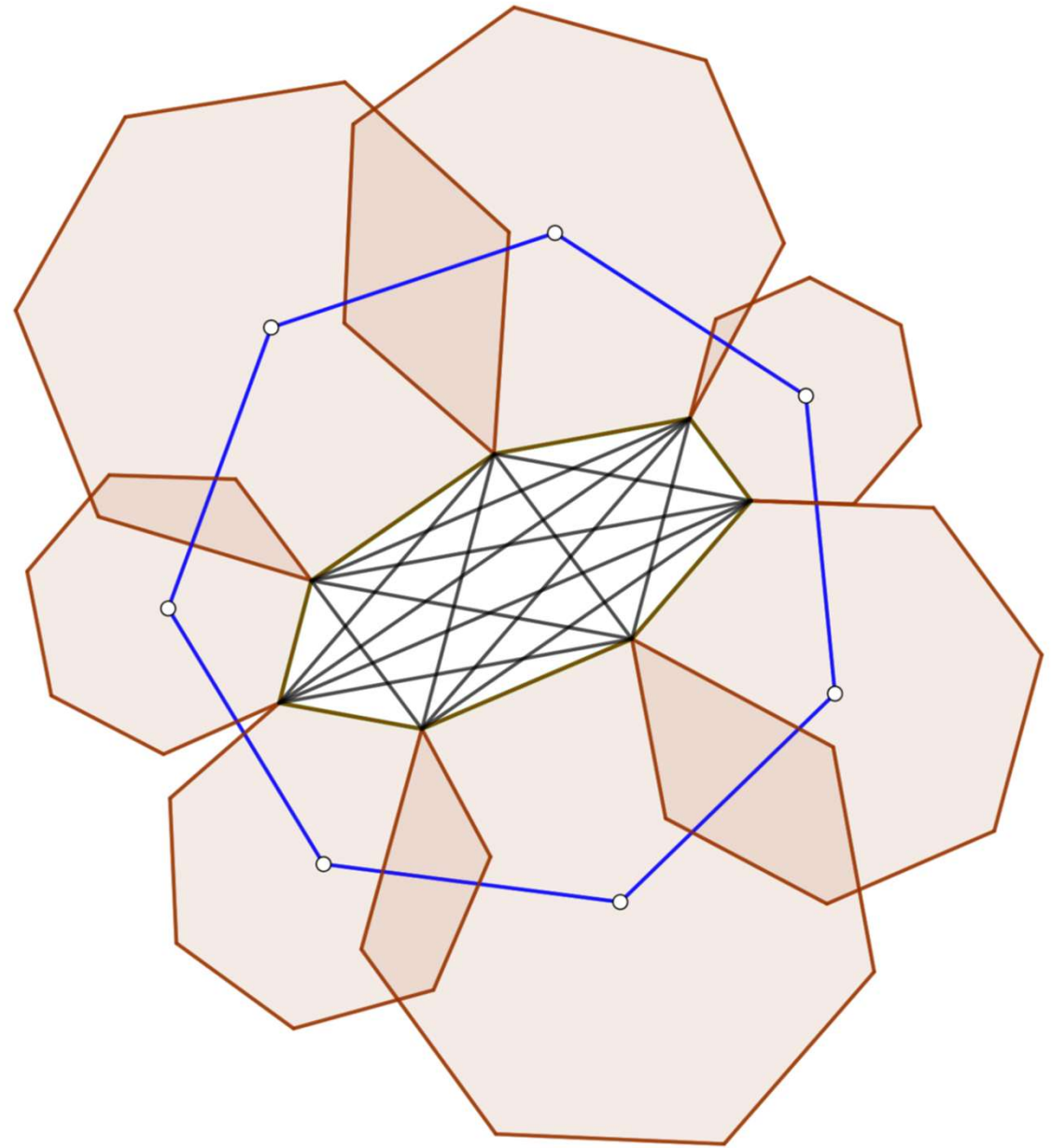
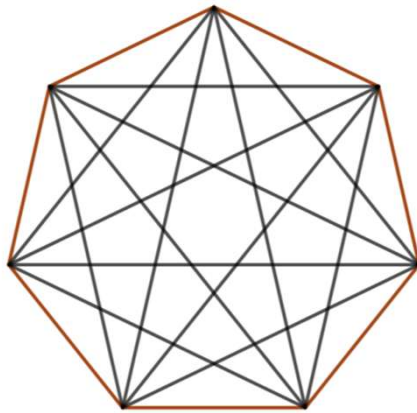
Théorème de Napoléon

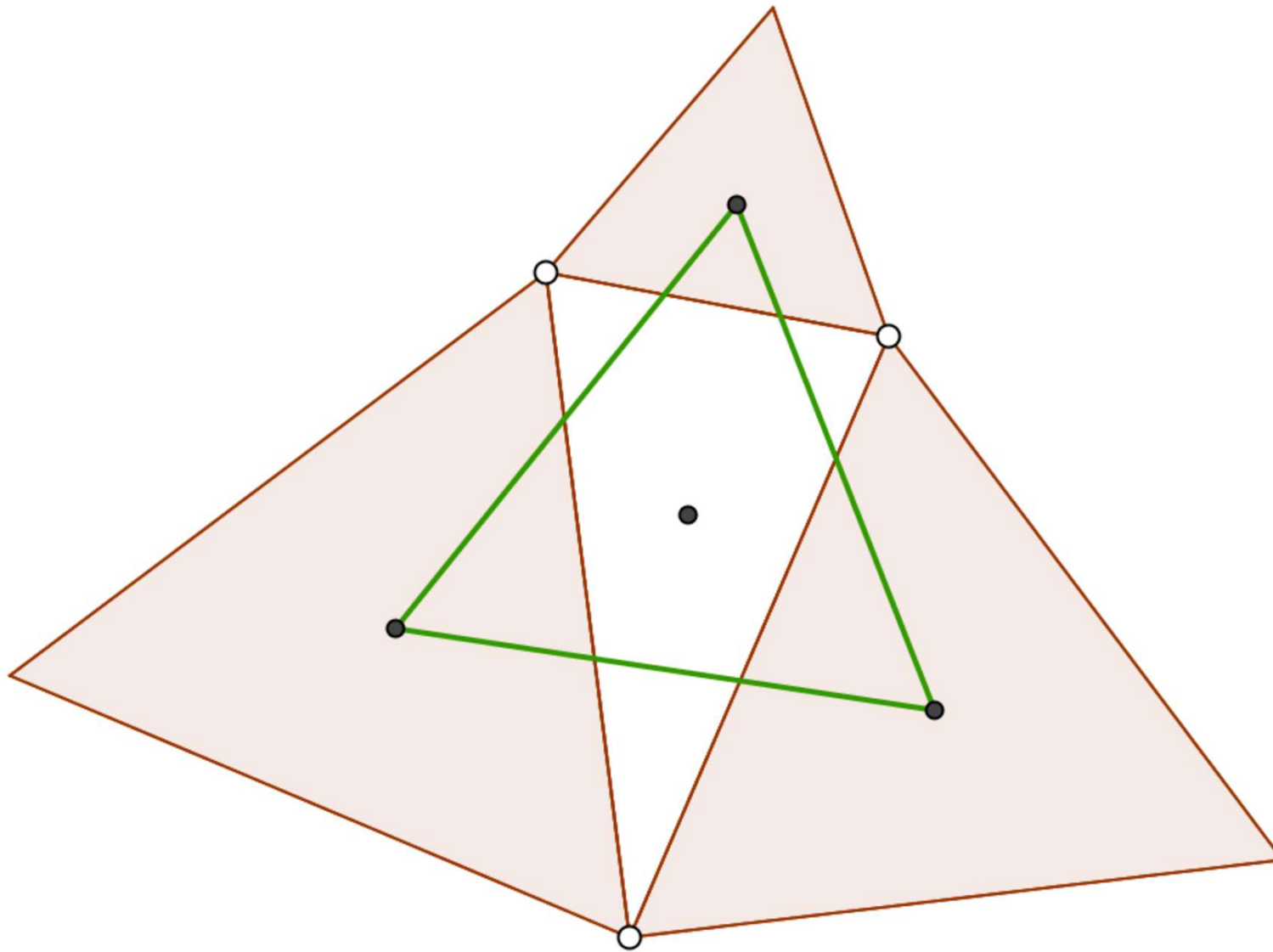


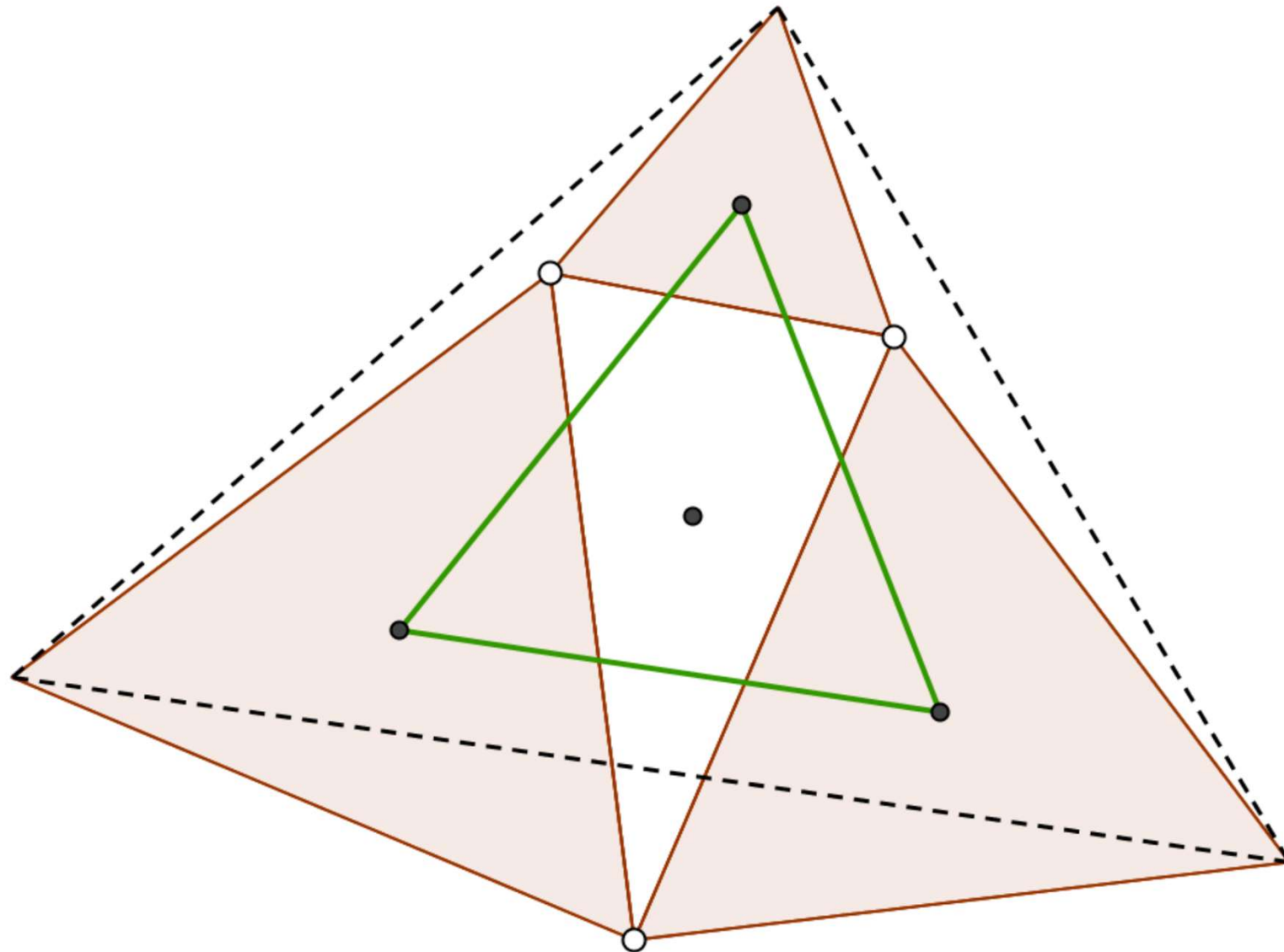
$$\begin{pmatrix} x' \\ y' \end{pmatrix} = \begin{pmatrix} 1.4 & -0.1 \\ 0.6 & 0.7 \end{pmatrix} * \begin{pmatrix} x \\ y \end{pmatrix} + \begin{pmatrix} 4 \\ 0 \end{pmatrix}$$

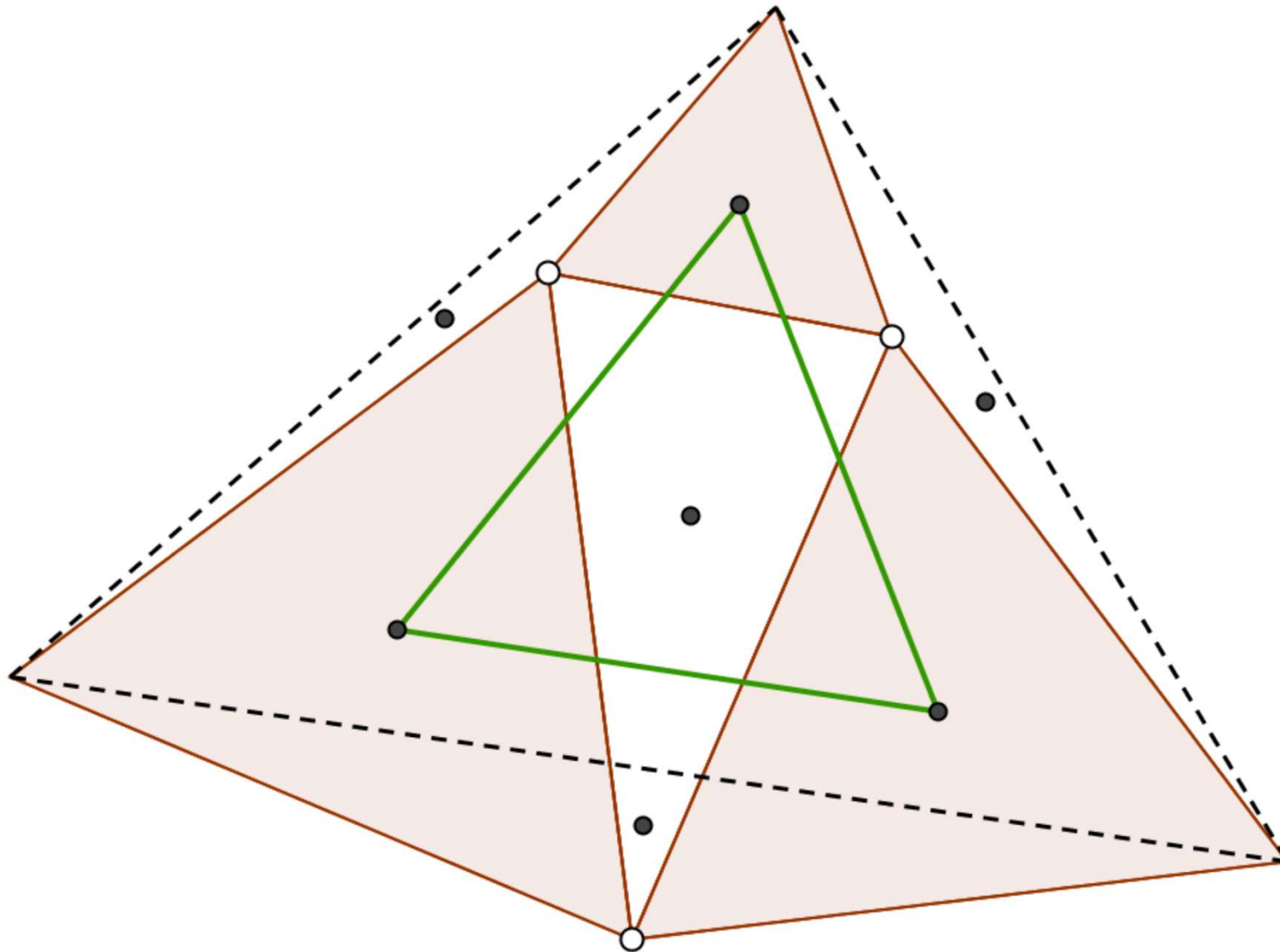


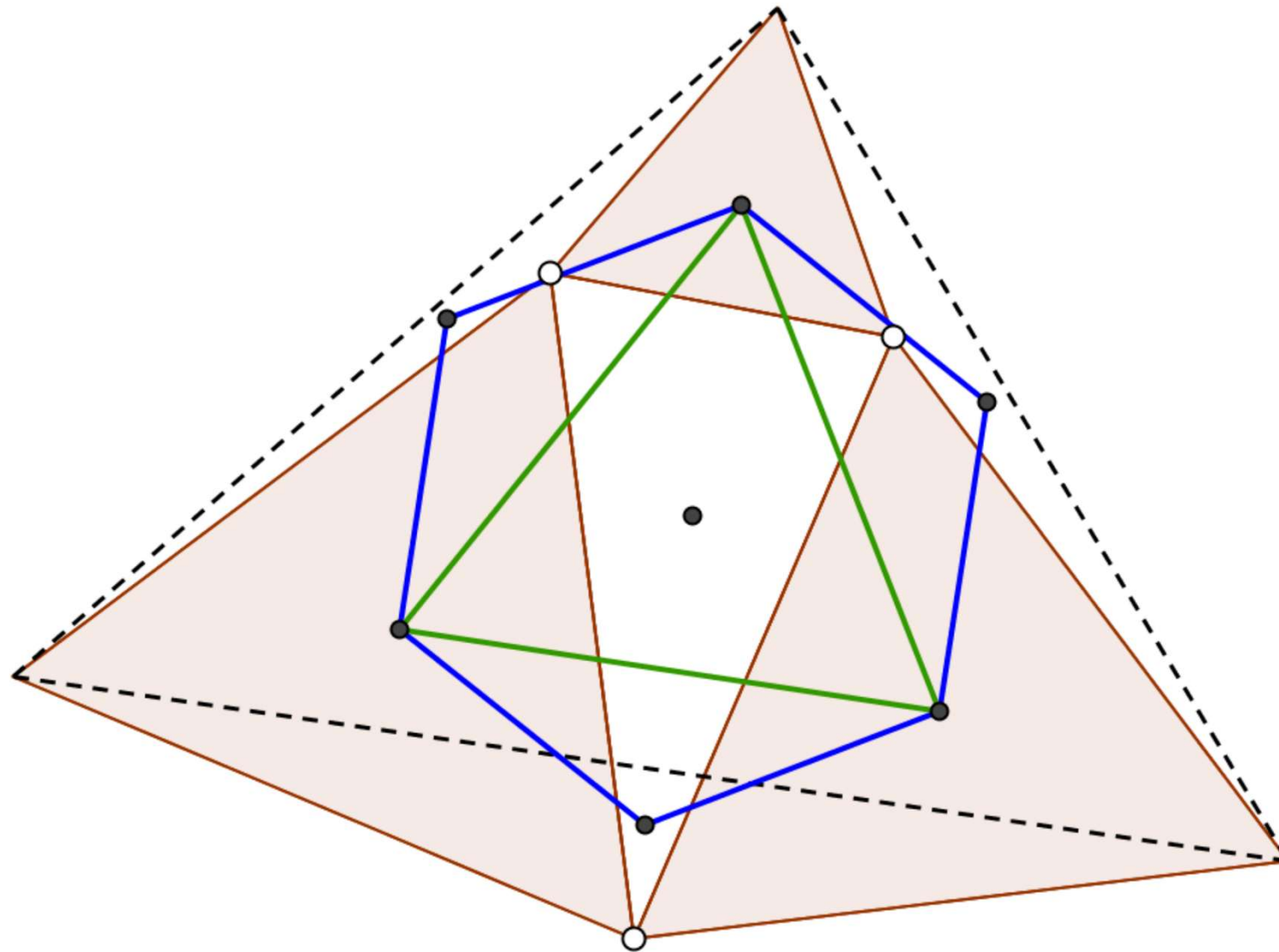
$n = 7$













Sous des angles méconnus
À la découverte des polygones étoilés
Définir, classer et autres problèmes inspirants

Un monde aux multiples côtés
Constructions et recherches de pointes
Questions de découpages

